

パーシステントホモロジーと機械学習

ディープラーニングと物理学/学習物理領域セミナー

2024-02-15

九州大学 マス・フォア・インダストリ研究所

池 祐一

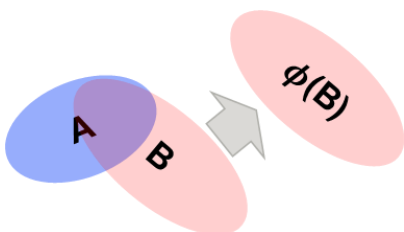
- 富士通研究所およびInriaとの共同研究
- 学術変革領域 (A)データ記述科学の創出と諸分野への横断的展開

自己紹介

池 祐一（いけ ゆういち） 1990年新潟生まれ

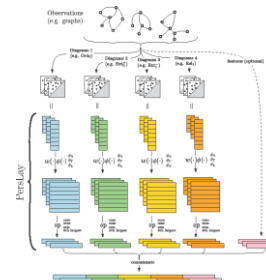
- 東大数理で博士取得
(層理論とシンプレクティック幾何)
- 富士通研究所入社

2018



2020

- 東京大学に異動



2022

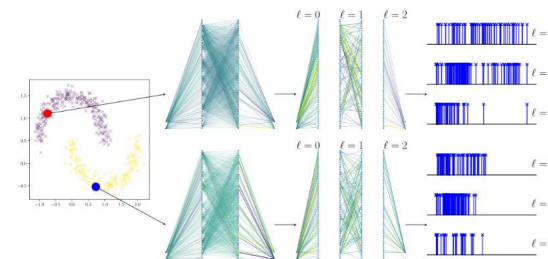
- 九州大学に異動
- 教科書を出版



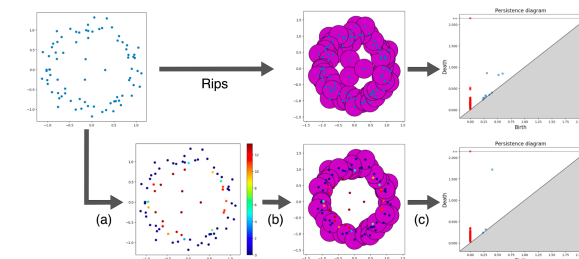
2019

- フランスInriaとの共同研究のため2ヶ月フランス滞在
- ACT-X採択

2021



2023

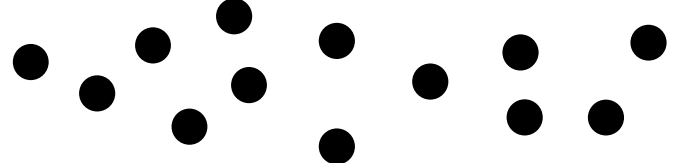


位相的データ解析

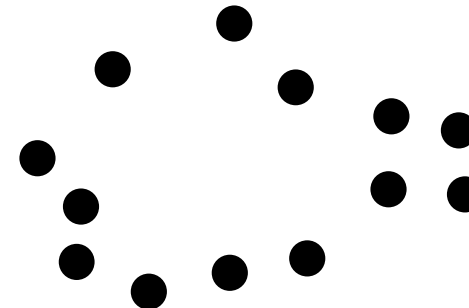
- パーシステントホモロジー (PH)
- フィルトレーションとパーシステンス図
- PHと機械学習のつながりいろいろ

位相的データ解析 (TDA) のアイデア

- データの大まかな形（トポロジー）を用いて解析する手法



穴がない

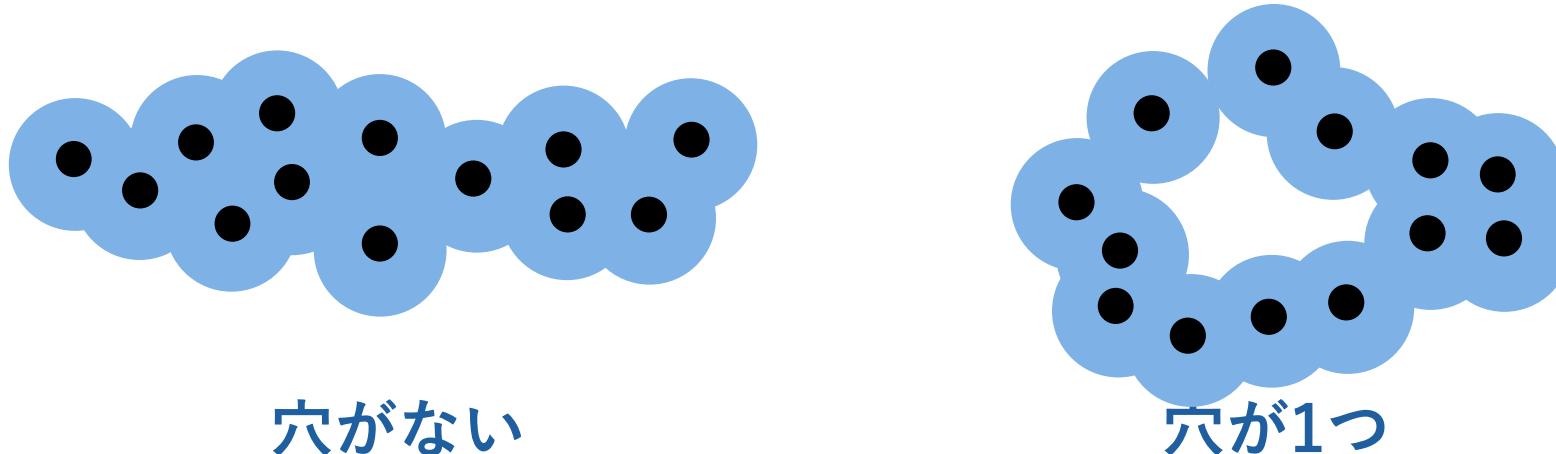


穴が1つ

- Q. どうやって離散的なデータから「トポロジー」を取り出すか？

位相的データ解析 (TDA) のアイデア

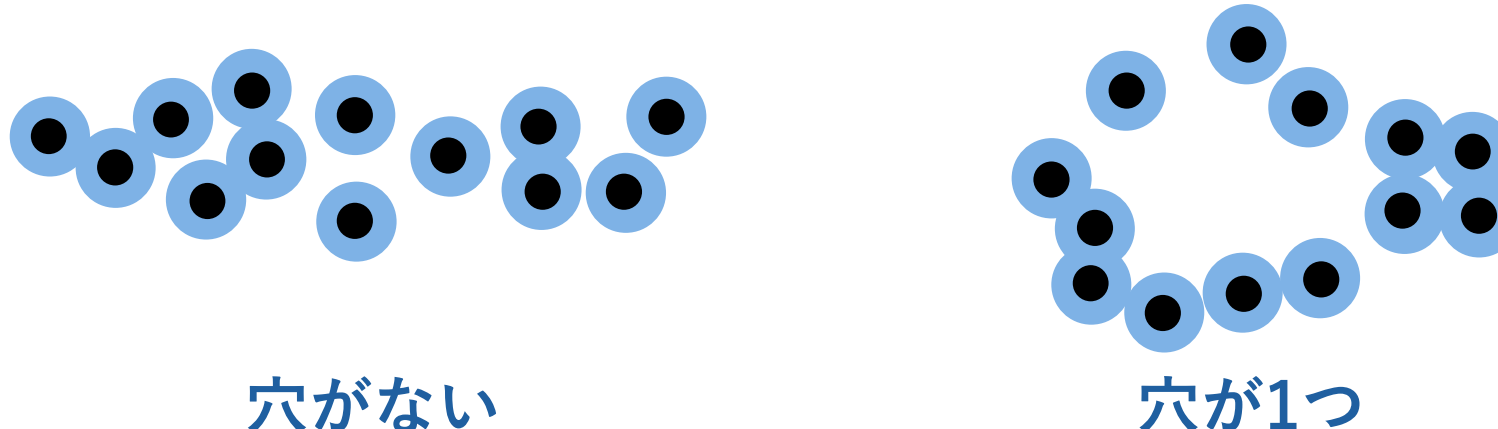
- データの大まかな形（トポロジー）を用いて解析する手法



- Q. どうやって離散的なデータから「トポロジー」を取り出すか?
 - アイデア1：データ点中心の閉球の和集合を考える

位相的データ解析 (TDA) のアイデア

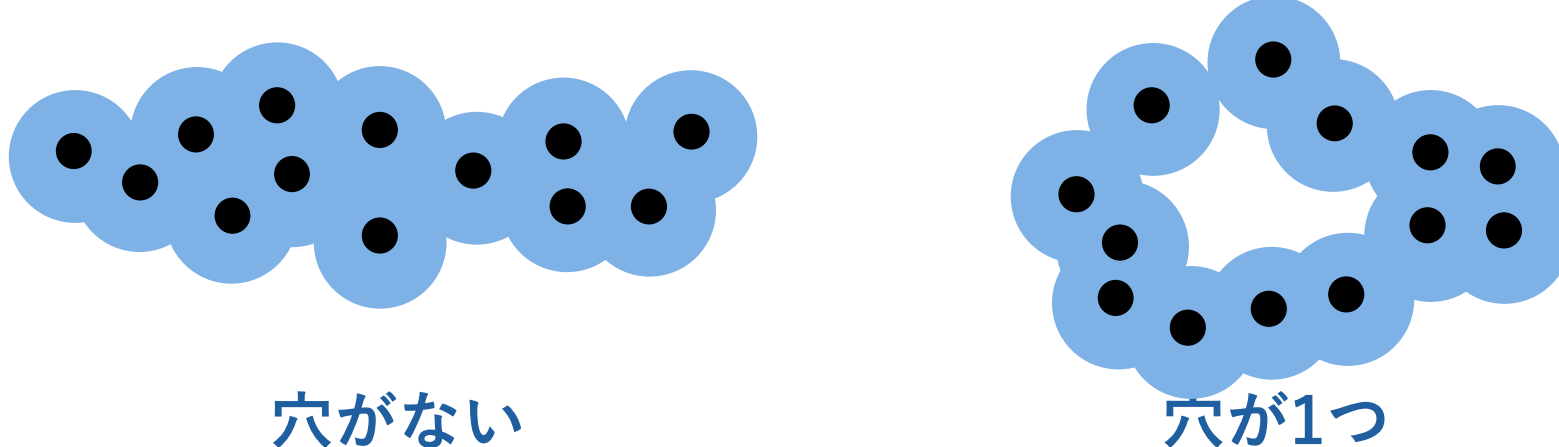
- データの大まかな形（トポロジー）を用いて解析する手法



- Q. どうやって離散的なデータから「トポロジー」を取り出すか?
 - アイデア1：データ点中心の閉球の和集合を考える
→ どのように半径を設定すればよいか分からぬ

位相的データ解析 (TDA) のアイデア

- データの大まかな形（トポロジー）を用いて解析する手法



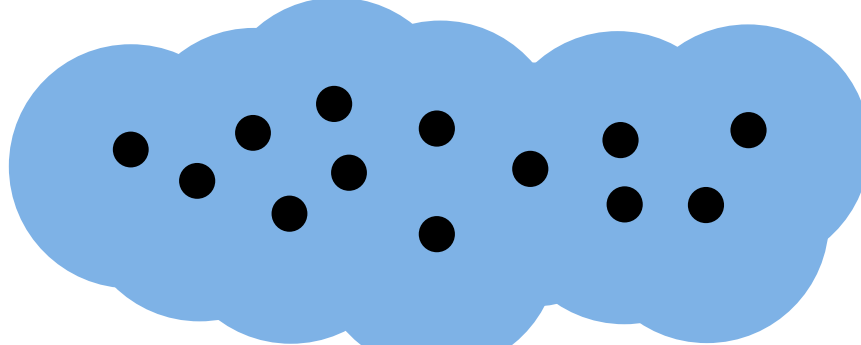
- Q. どうやって離散的なデータから「トポロジー」を取り出すか？

- アイデア1：データ点中心の閉球の和集合を考える
→ どのように半径を設定すればよいか分からぬ

- アイデア2：すべての半径を考えてトポロジーの発展を追跡する
パーシステントホモロジーと呼ばれる道具

位相的データ解析 (TDA) のアイデア

- データの大まかな形（トポロジー）を用いて解析する手法



穴がない



- Q. どうやって離散的なデータから「トポロジー」を取り出すか？

- アイデア1：データ点中心の閉球の和集合を考える
→ どのように半径を設定すればよいか分からぬ

- アイデア2：すべての半径を考えてトポロジーの発展を追跡する
パーシステントホモロジーと呼ばれる道具
→ ノイズと本質的な特徴量を区別できる・マルチスケールの解析

フィルトレーションとパーシステンス図

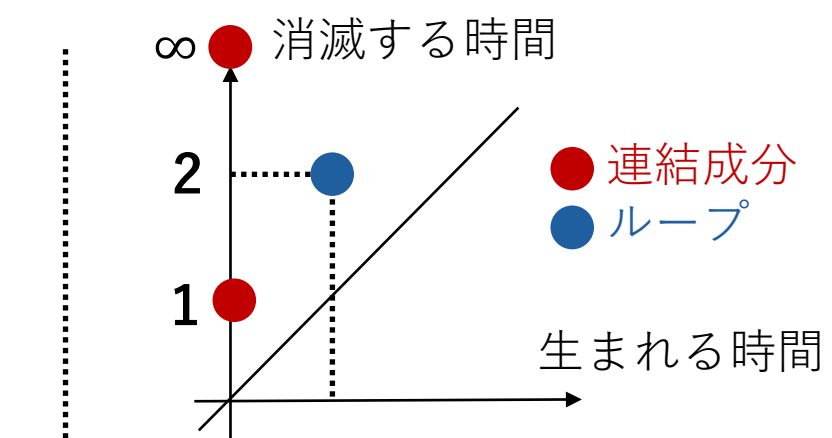
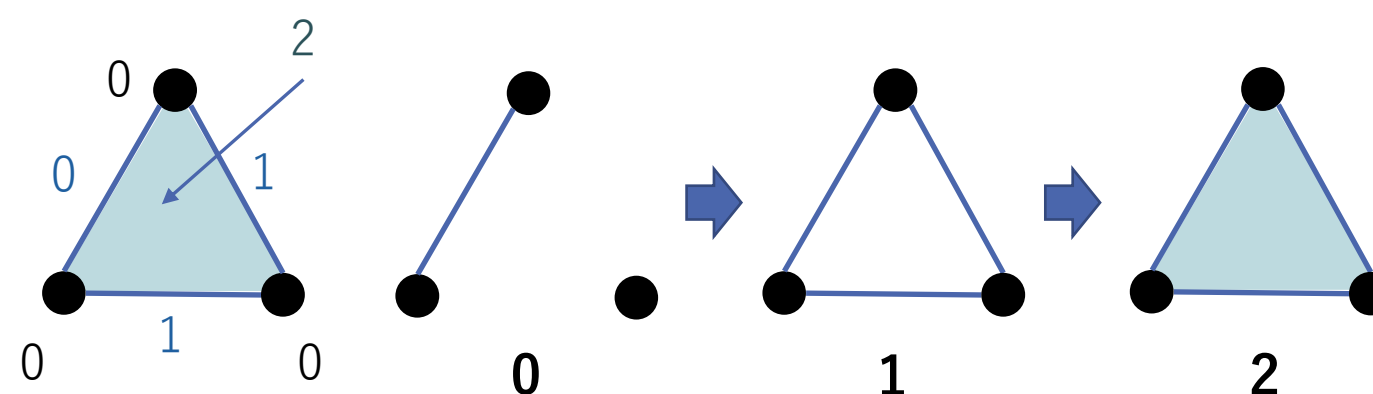
フィルトレーション: 単体的複体の増大族

■ 単体的複体: 有限集合 V の部分集合の集合 K であって次を満たす:

$$\sigma \in K, \tau \subset \sigma \Rightarrow \tau \in K$$

■ $\mathcal{K} = (K_r)_r, K_r \subset K$ が K のフィルトレーション: $\Leftrightarrow K_r \subset K_s (r \leq s), \bigcup_r K_r = K$

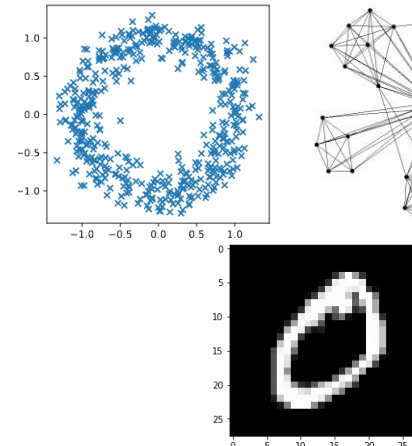
\Leftrightarrow 関数 $F: K \rightarrow \mathbb{R}$ s.t. $\sigma \subset \tau \Rightarrow F(\sigma) \leq F(\tau)$, $K_r = \{\sigma \in K \mid F(\sigma) \leq r\}$



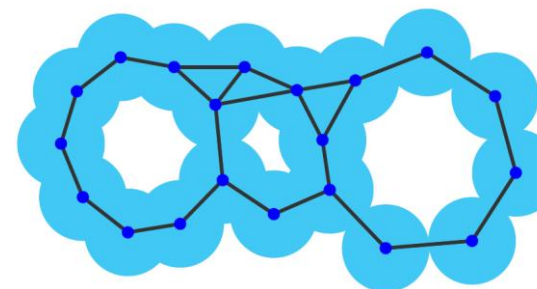
☞ パーシステンス図 (PD): 各連結成分やループといった「穴」の
生成・消滅時刻を2Dにプロット

データからパーシステンス図まで

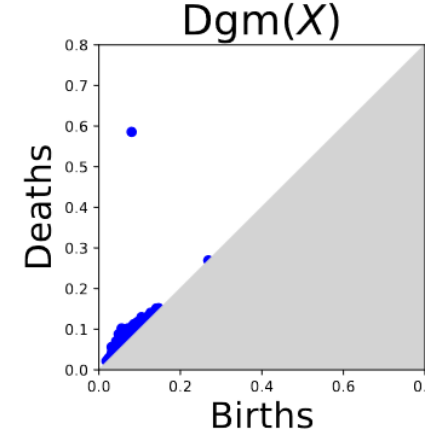
データからフィルトレーションを定めることでPDを計算する



データ



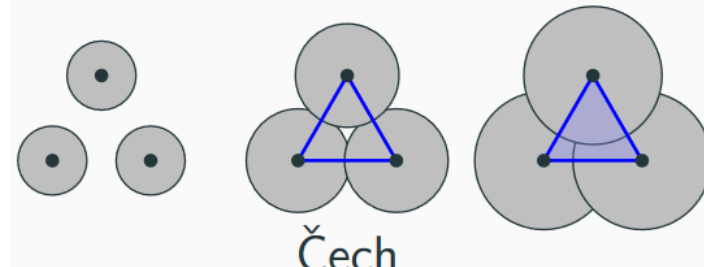
フィルトレーション



パーシステンス図

Čech フィルトレーション

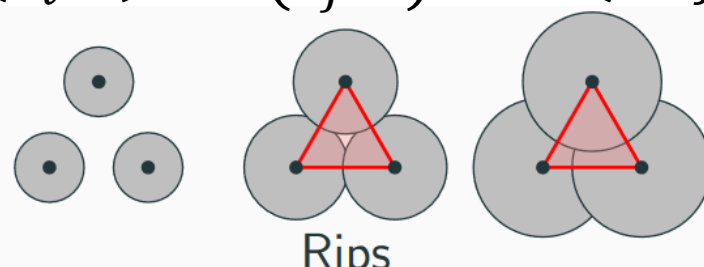
$\{x_0, \dots, x_k\}$: 単体: $\Leftrightarrow \bigcap_i B(x_i; r) \neq \emptyset$



Čech

Rips フィルトレーション

$\{x_0, \dots, x_k\}$: 単体 : $\Leftrightarrow B(x_i; r) \cap B(x_j; r) \neq \emptyset \ (\forall i, j)$



Rips

劣位集合

フィルトレーション

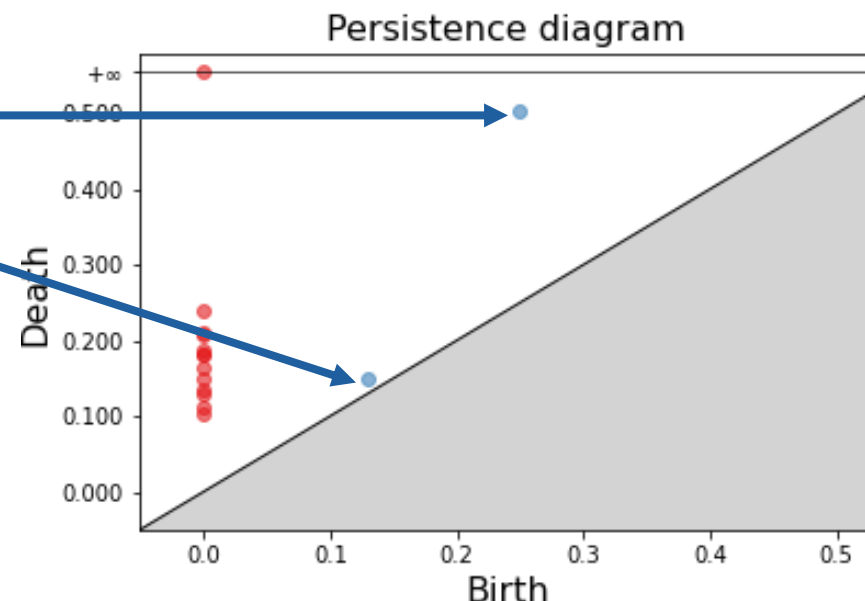
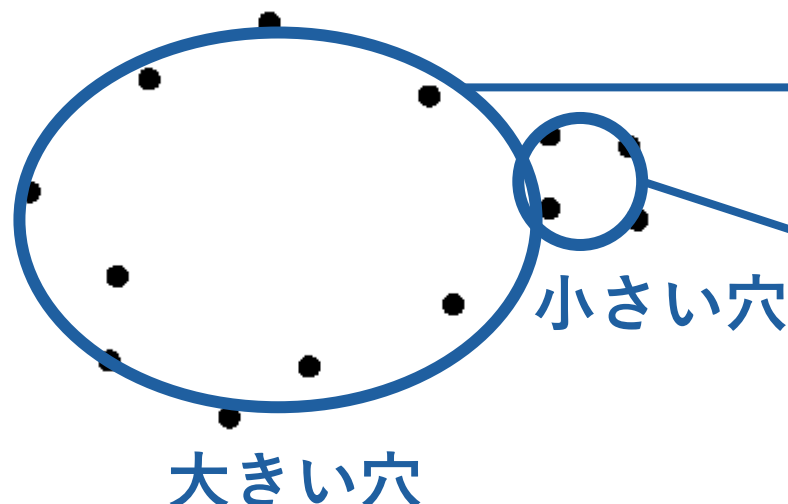
$f: V(K) \rightarrow \mathbb{R}$ 頂点上の関数

$F(\sigma) := \max_{v \in \sigma} f(v)$

グラフ・画像データで使われる

PDは何がうれしいのか (1/2)

- 対角線の遠くが本質的な形をあらわし、対角線の近くはノイズであると区別ができる
- パーシステンス図の各点が、データのどのような「形」を意味するかも分かる



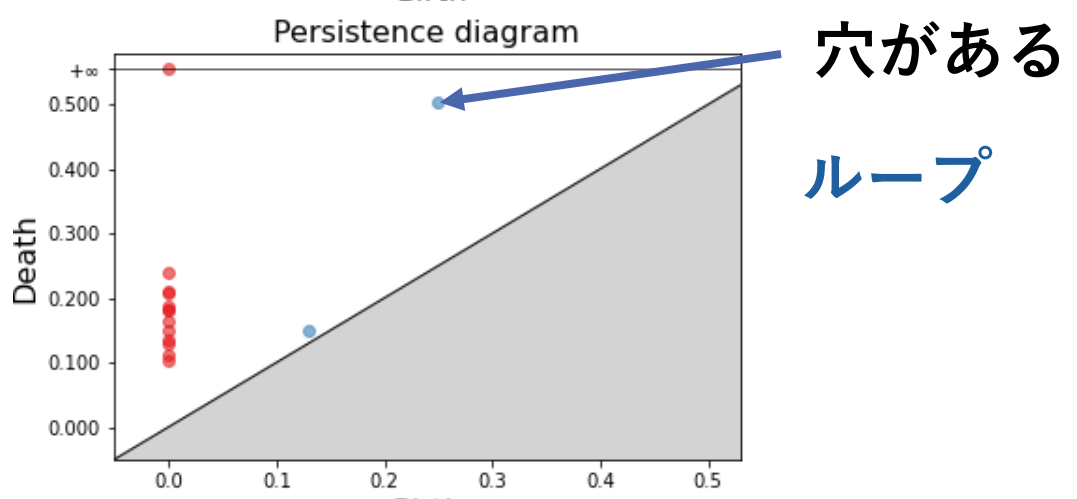
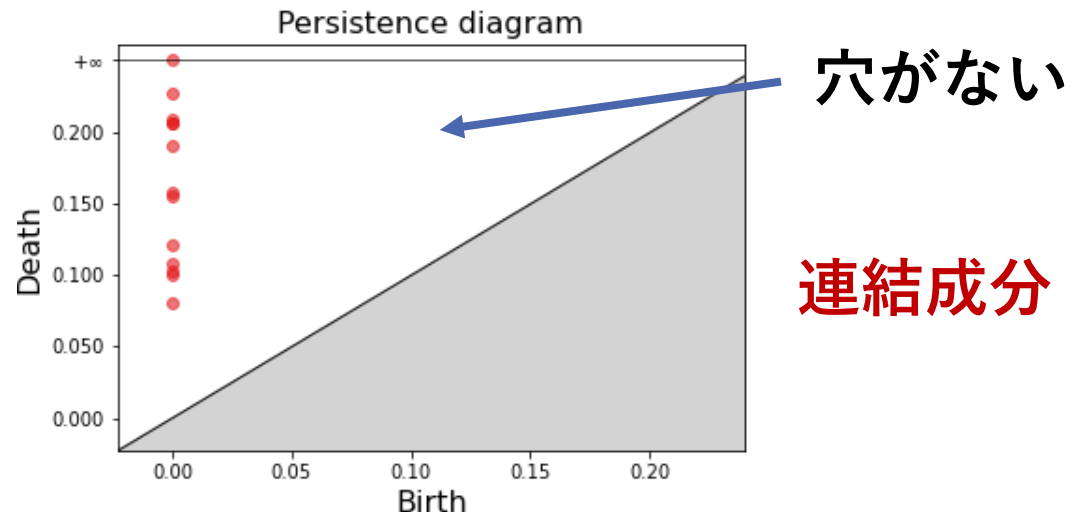
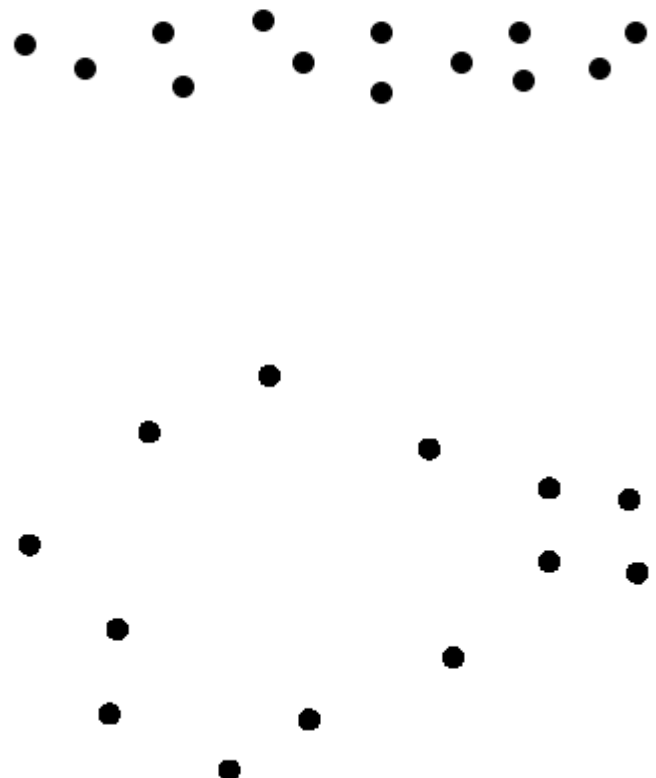
連結成分

ループ

PDは何がうれしいのか (2/2)

もっと直接的には. . .

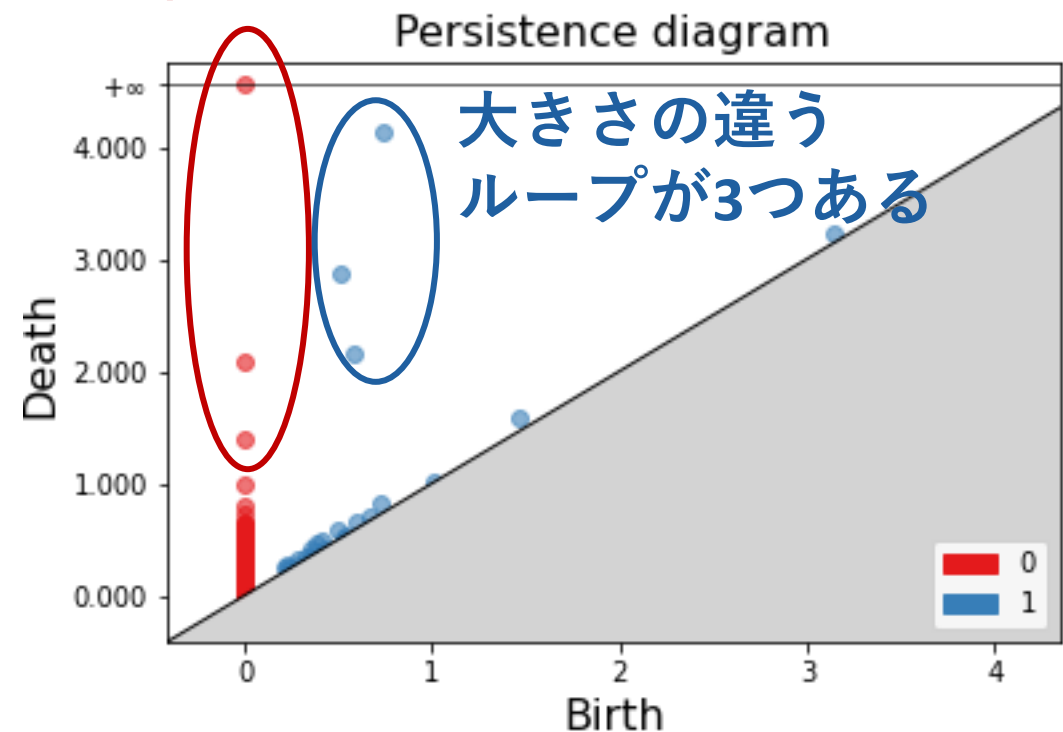
「形」が異なるデータをパーシステンス図で区別できる



PHの簡単な使用例



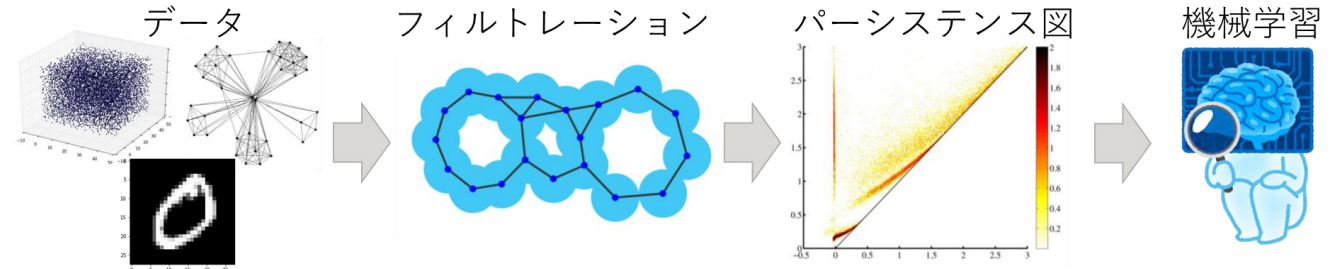
連結成分が3つある



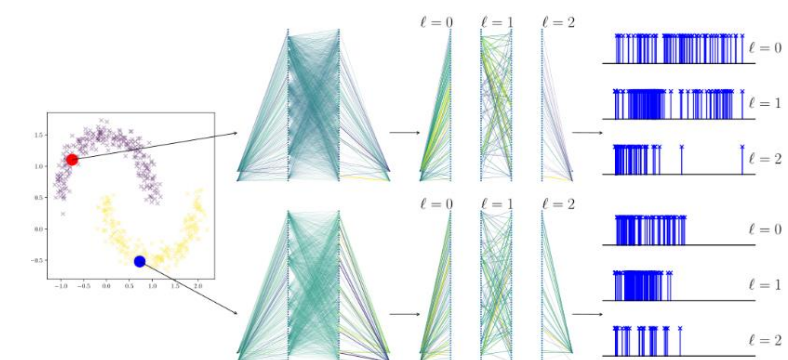
PHと機械学習のつながり (1/2)

1. PHを機械学習へ応用する

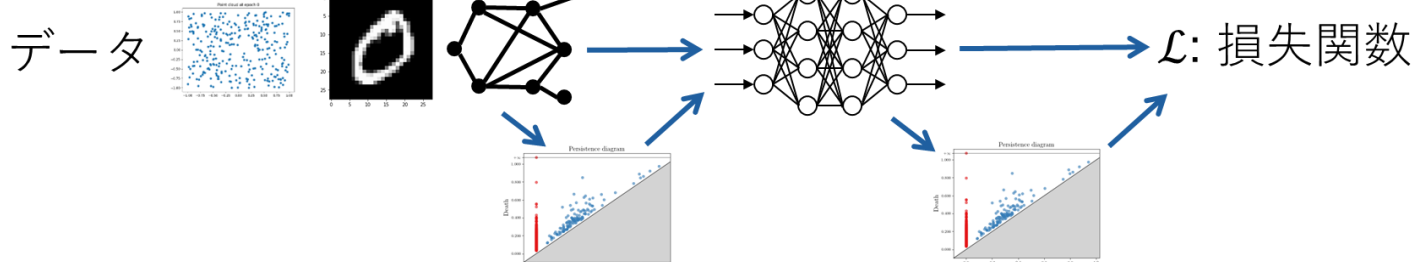
■PHを機械学習の入力に使う



■ネットワークからPH的特徴量を取り出す

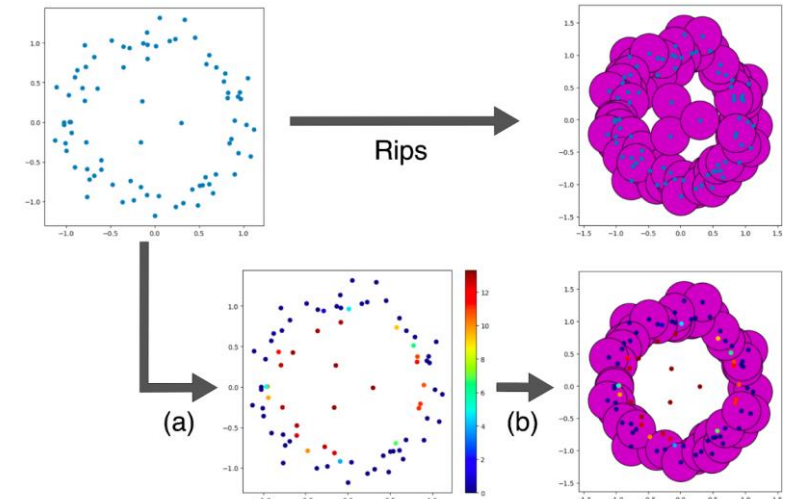
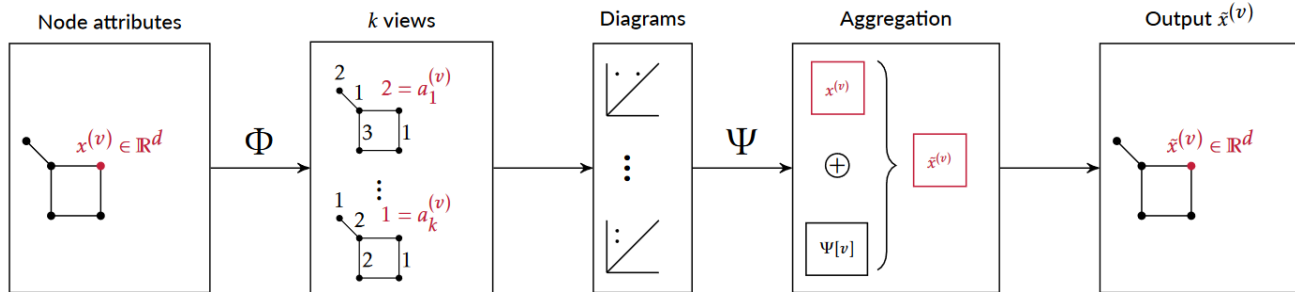


■PHを損失関数に組み込む

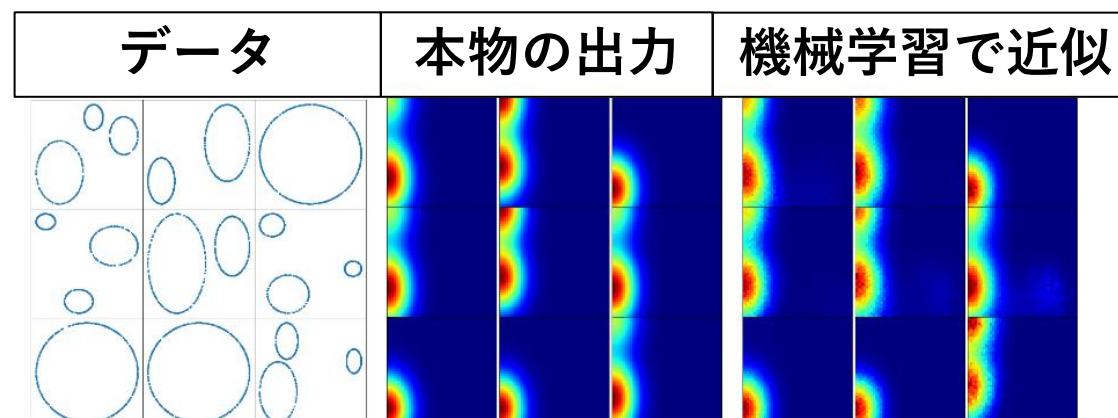


PHと機械学習のつながり (2/2)

2. 機械学習からPHへフィードバックする ■ フィルトレーションを学習する



■ PDを計算する関数を機械学習で近似する

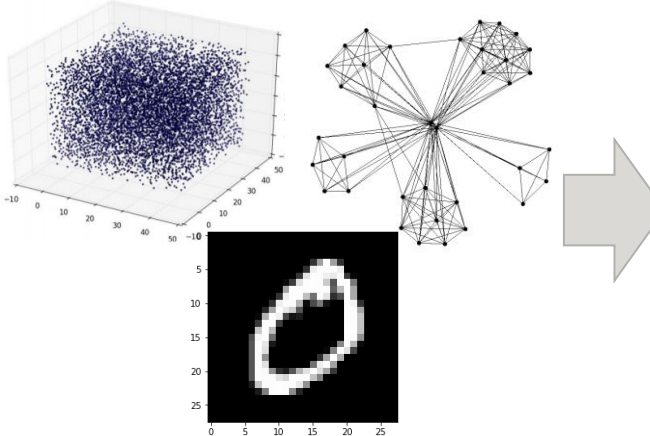


PHを機械学習の入力に使う

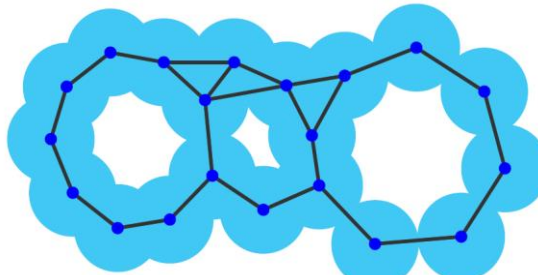
- トポロジー情報を使って機械学習を行う
- パーシステンス図のベクトル化
- いろいろな応用

PHを機械学習の入力とするパイプライン

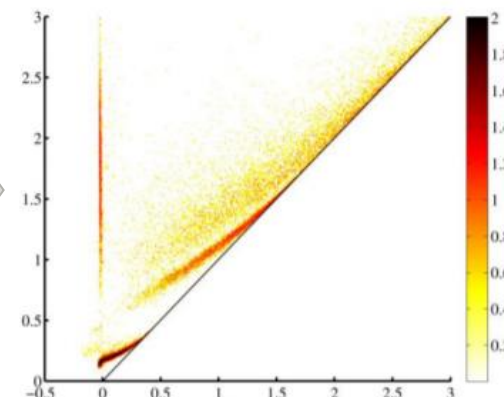
データ



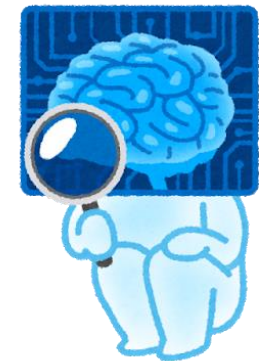
フィルトレーション



パーシステンス図



機械学習



例

- シミュレーションで生成された点群
- センサーによる振動
- グラフ・画像

Software

Ripser, GUDHI,
HomCloud, …

機械学習に入力する
ためにベクトル化

Figures from K. Fukumizu, Persistence Weighted Gaussian Kernel for Topological Data Analysis

パーシステンス図のベクトル化 1

パーシステンス図の**ベクトル化手法**が多く提案されている

■PHと機械学習を組み合わせる際に有用

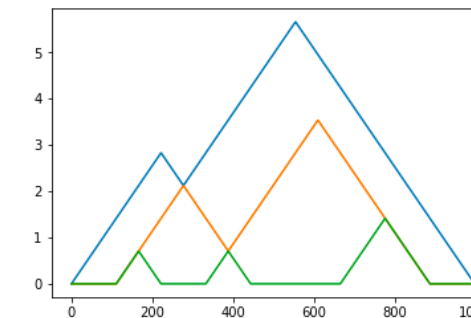
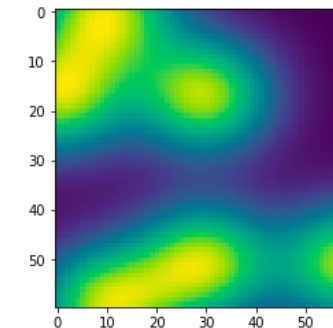
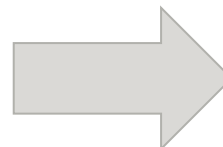
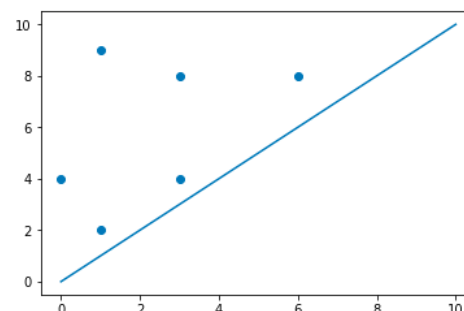
■パーシステンスイメージ (PI) : ガウス関数によるカーネル密度推定 :

$$\rho(D)(z) := \sum_{u \in D} w(u) \cdot \frac{1}{2\pi\sigma^2} \exp\left(-\frac{\|z - u\|^2}{2\sigma^2}\right), \quad w: \mathbb{R}^2 \rightarrow \mathbb{R}_{\geq 0}$$

領域を分割してそこで $\rho(D)$ を積分することで有限次元ベクトルを得る

■パーシステンスランドスケープ (PL) : 三角状の関数を用いて定義

$$\lambda_k(D)(t) := k - \max \min\{t - b_i, d_i - t\}_+, \quad D = \{(b_i, d_i)\}_i$$



■Weighted Gaussian kernel, …

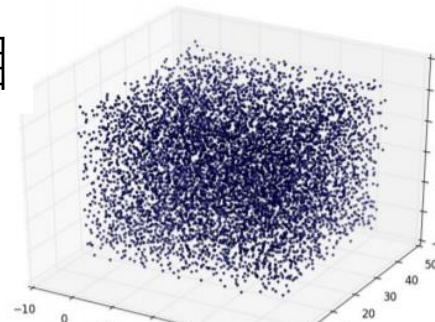
シリカガラスの相転移温度解析

G. Kusano, K. Fukumizu, Y. Hiraoka: Persistence weighted Gaussian kernel for topological data analysis, 2016

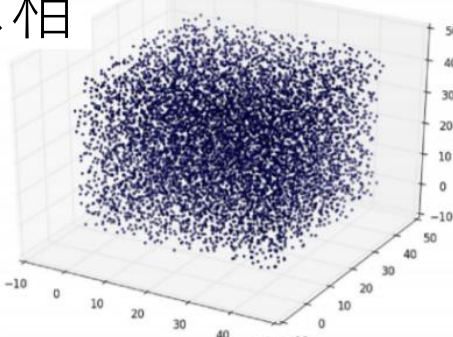
■ SiO_2 が液相からガラス相に変化する温度を原子配置の点群から推定

■ 点群をPDに変換して、それが変化する温度を調べる

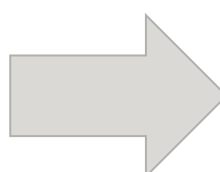
液相



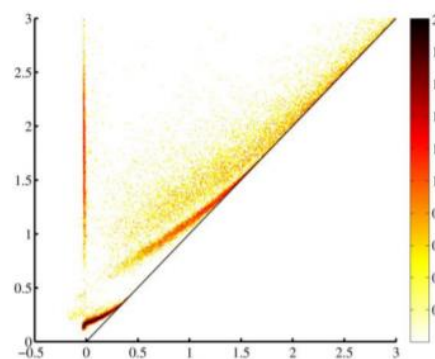
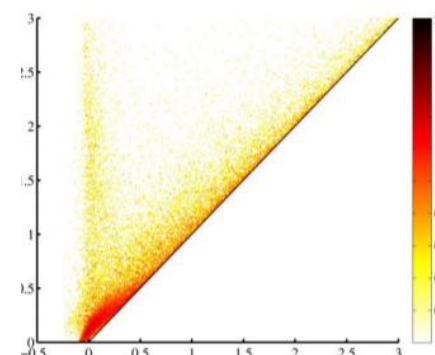
ガラス相



PD



1次の穴



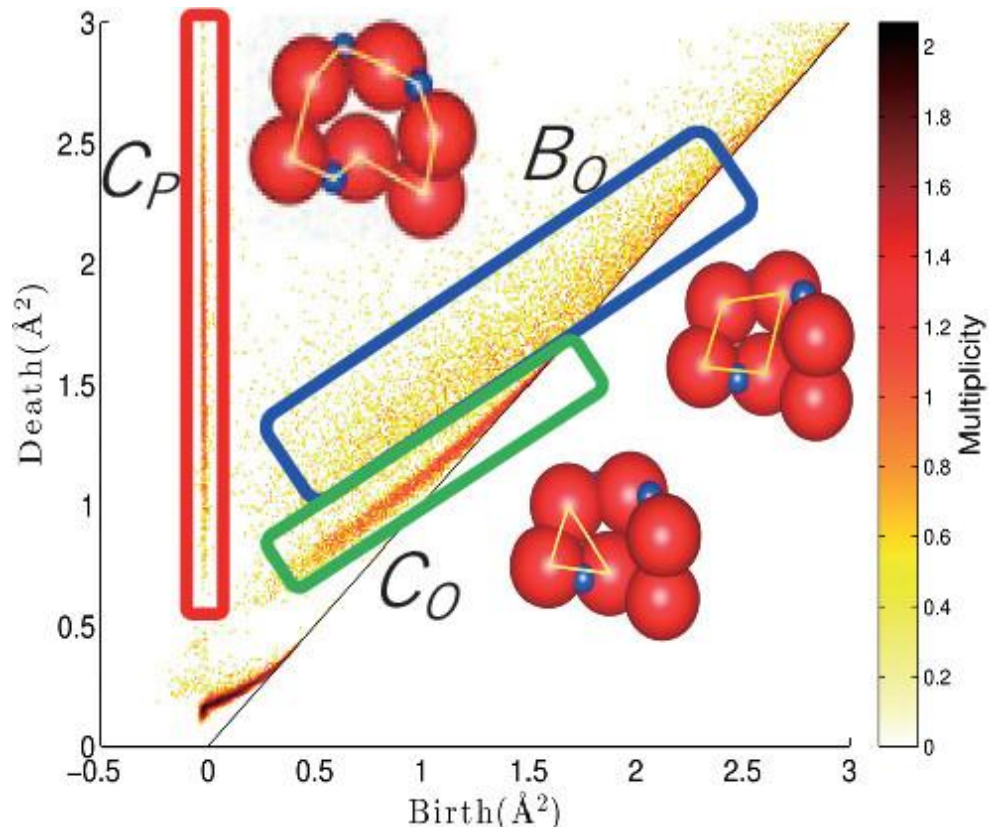
※点が多いのでPDを密度で表示

変化点は従来手法で説明
される相転移温度に合致
(カーネル法を利用)

シリカガラスの解析：PDの意味

SiO_2 のガラス相のPDに特徴的な曲線の意味を調べる

PDの点が原子配置点群のどの形に対応するかを出力可能（逆解析）



- C_P : $\cdots-\text{O}-\text{Si}-\text{O}-\text{Si}-\text{O}-\cdots$ という共有結合によるリング
- C_O : Si原子をまたぐ3つのO原子が作る三角形
- B_O : いろいろな構造が混在たとえば、Si原子をまたいだ4個以上のO原子のなす多角形
- C_O, B_O, C_P が中距離秩序に対応する信じられている

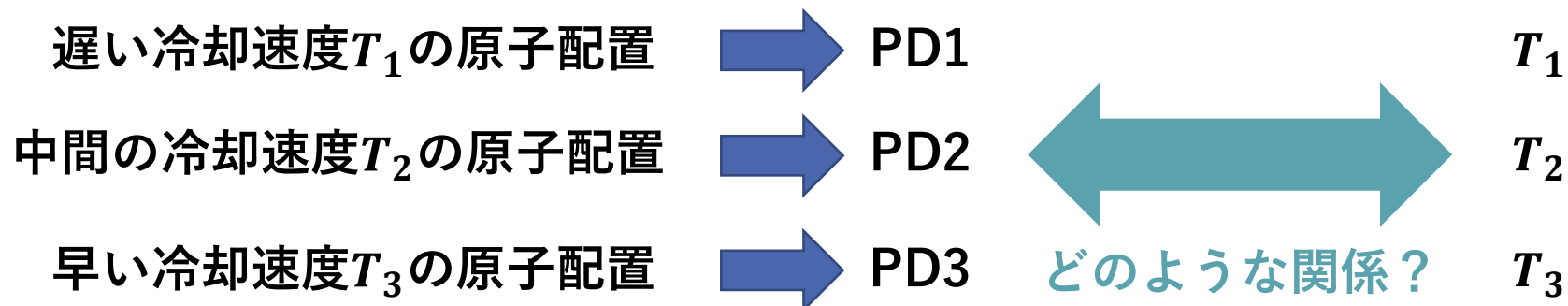
Figure from Obayashi et al., Persistent homology analysis for materials research and persistent homology software: Homcloud

金属ガラスの解析

Hirata et al., Structural changes during glass formation extracted by computational homology with machine learning, 2020

Pd 80%とSi 20%からなる金属ガラスの解析

- 高速冷却のシミュレーションで原子配置を用意
- 複数の冷却速度でデータを生成
- 原子配置のPDと冷却速度の関係を調べた（ベクトル化+線形回帰）

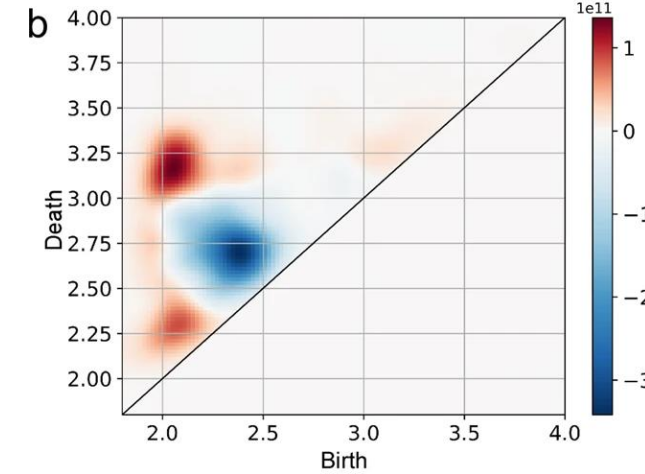
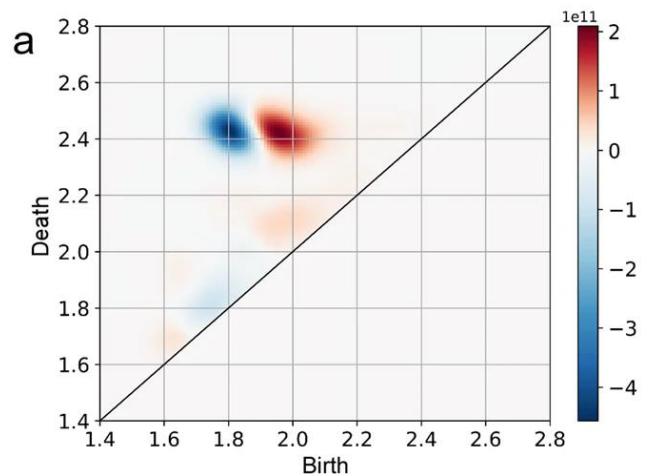


1. PDをパーシステンスイメージに変換する
2. 冷却温度とパーシステンスイメージに対して線形回帰を行う

金属ガラスの解析

1. PDをパーシステンスイメージに変換する
2. 冷却温度とパーシステンスイメージに対して線形回帰を行う

Pd原子配置の2次元の穴に関するPD Si原子配置の1次元の穴に関するPD



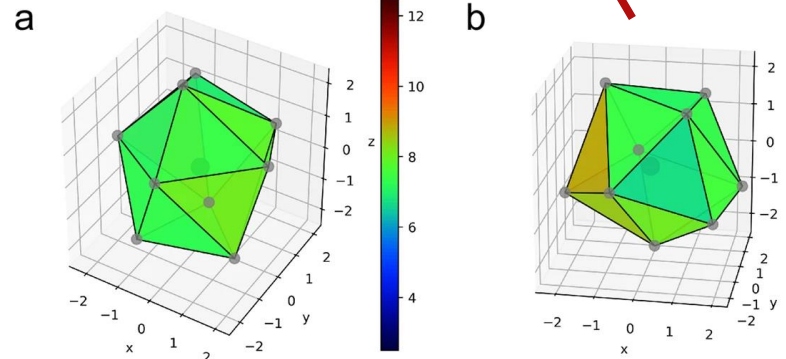
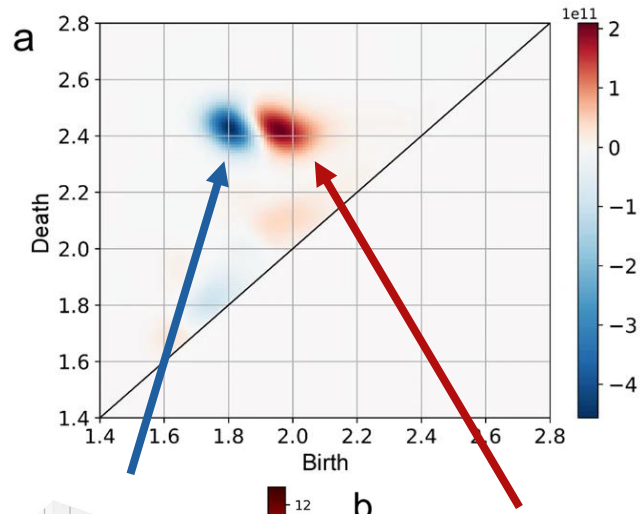
回帰係数が正か負かで、その範囲のPDの点が冷却温度に正に効くか負に効くか分かる

■冷却温度が早いほど、赤い領域の点が多く、青い領域の点が少ない

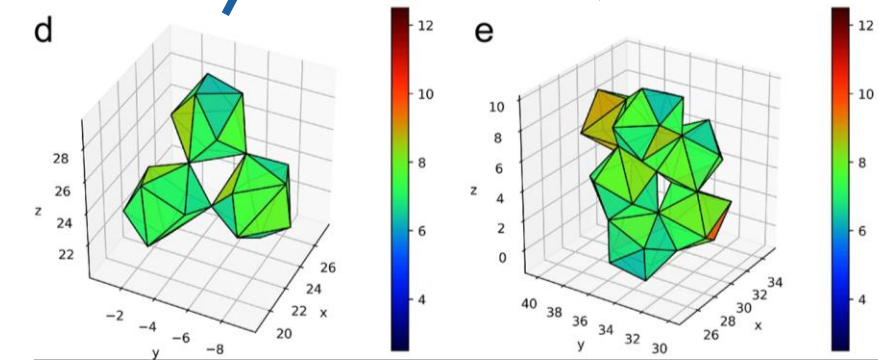
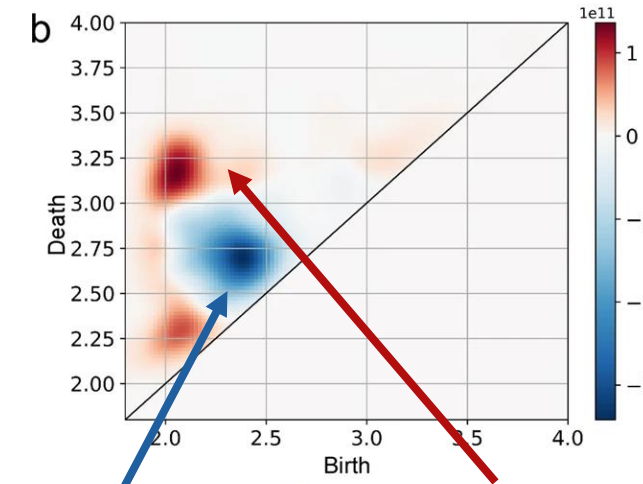
金属ガラスの解析

逆解析により具体的にどの原子配置の構造が冷却速度に
関係するかもわかる

Pd原子配置の2次元の穴に関するPD



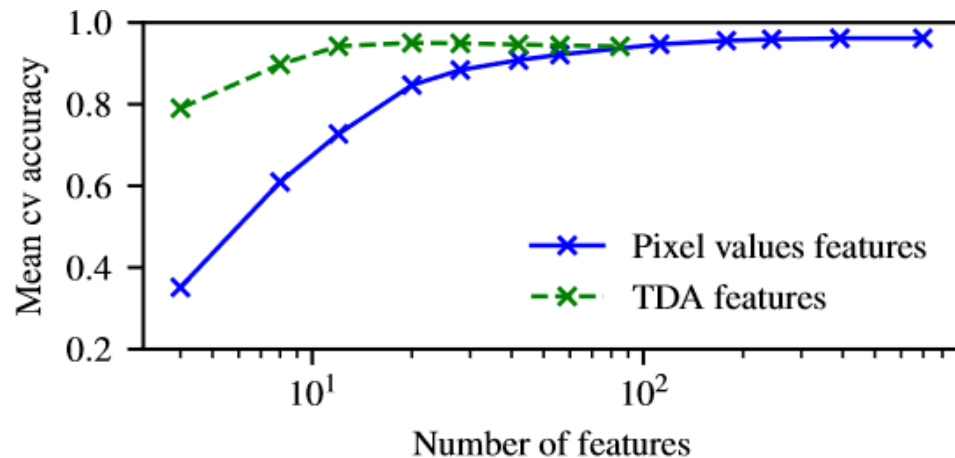
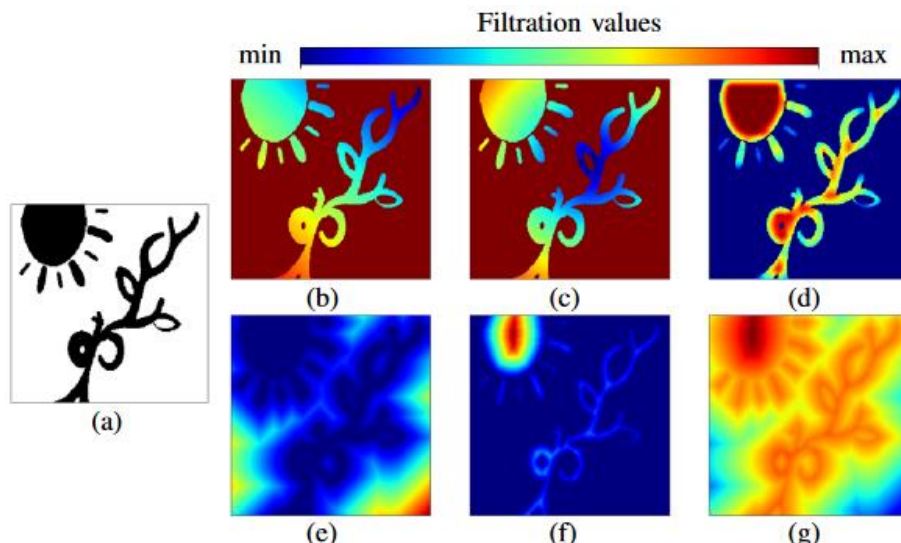
Si原子配置の1次元の穴に関するPD



2次元画像分類への応用 1

Garin and Tauzin, A Topological "Reading" Lesson: Classification of MNIST using TDA, 2019

- 手書き文字画像データセット (MNIST) の分類に PH を用いる
- 様々なフィルトレーションとベクトル化手法で特徴量を生成
 - 画素を頂点として、縦横の辺、囲まれる四角形で複体を作る
 - ベクトル化は PL に加えてベッヂ曲線・生存時間の長さの和・エントロピーを使用
- ランダムフォレストを用いて分類
 - 重要度が高い PD 特徴量を使うと、画素値よりも少ない特徴量で精度よく分類可能



パーシステンス図のベクトル化 2

PDのベクトル化は機械学習で学習することも可能

■ Hofer et al., Deep Learning with Topological Signatures, 2017

- 中心 μ_i ・共分散行列 σ_i のガウス関数の値をPDの各点にわたって和を取り、ベクトル化
- これら μ_i および σ_i たちをタスクに応じて学習させる

■ Carrière et al., PersLay, 2020: DeepSetに基づく構造

$$\text{PersLay}(D) := \text{op}\left(\{w(p) \cdot \phi(p)\}_{p \in D}\right)$$

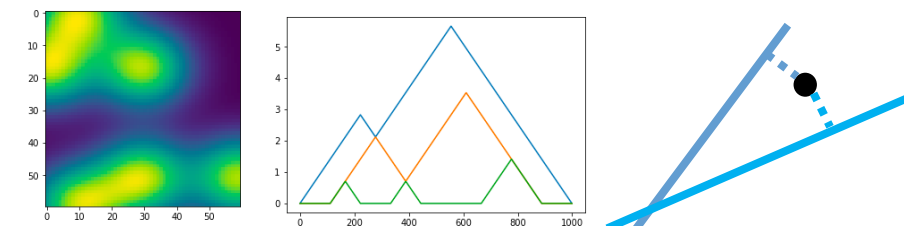
- $\phi: \mathbb{R}^2 \rightarrow \mathbb{R}^q$ 点変換写像, たとえば

1. $\phi_\Gamma: p \mapsto \left[\exp\left(-\frac{|p - \mathbf{c}_k|^2}{2\sigma^2}\right) \right]_{k=1}^q$ ガウス関数
2. $\phi_\Lambda: p \mapsto [\max\{0, y - |\mathbf{t}_k - x|\}]_{k=1}^q$ 三角形の関数
3. $\phi_L: p \mapsto [\langle p, \mathbf{e}_k \rangle + \mathbf{b}_k]_{k=1}^q$ 直線からの符号付き距離

- $w: \mathbb{R}^2 \rightarrow \mathbb{R}$ 重み関数,

- op: 任意の置換不变な操作 (和・最大・最小・ k 番目に大きい値など)

- タスクに応じて ϕ が持つパラメータを学習させる

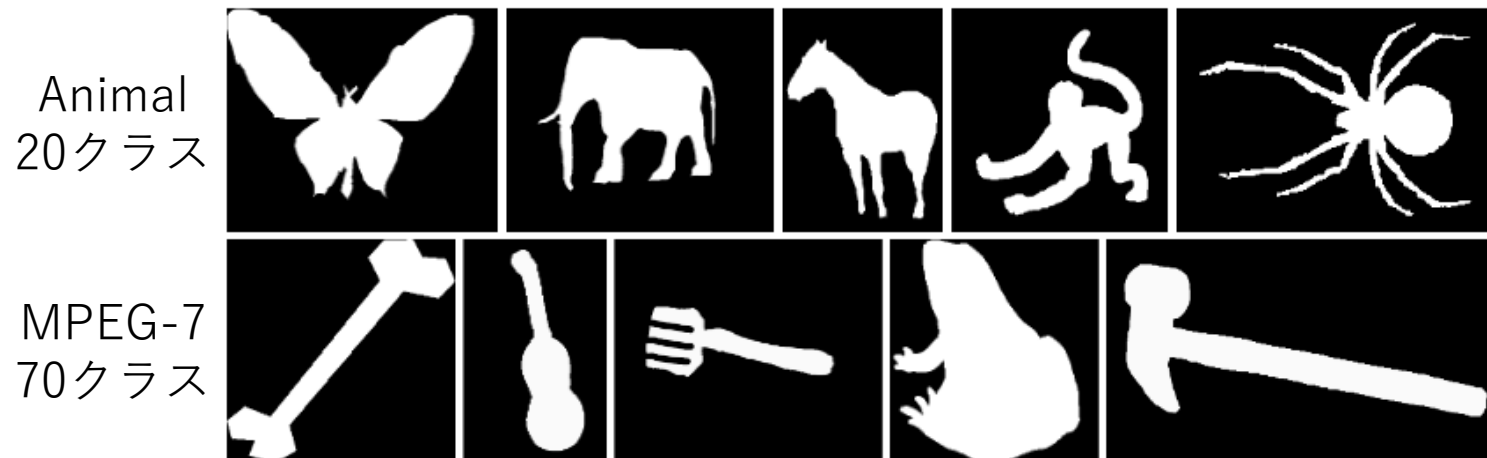


最近はTransformerを用いたベクトル化学習も提案されている

2次元画像分類への応用 2

Hofer et al., Deep Learning with Topological Signatures, 2017

- 白黒画像の分類にPHとベクトル化学習を用いる

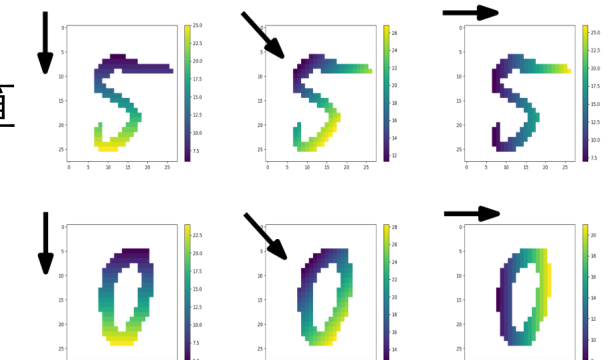


| | MPEG-7 | Animal |
|---------------------------------|--------|--------|
| [†] Skeleton paths | 86.7 | 67.9 |
| [†] Class segment sets | 90.9 | 69.7 |
| [†] ICS | 96.6 | 78.4 |
| [†] BCF | 97.2 | 83.4 |
| Ours | 91.8 | 69.5 |

- 白い画素の格子点が頂点として、それらを縦横でつなぎ単体的複体を作る

- 円周上に32個等角度に点を取り、それらの方向に増加する1次関数の劣位集合フィルトレーションのPHを計算
- 出来た32個の0次PDをベクトル化してCNNに入力

0次PDのみでも表現を学習することで良い精度



グラフ分類への応用

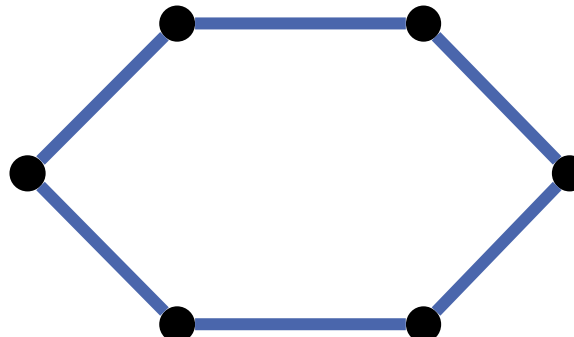
グラフがたくさんあるときに、それらを分類したい

- たとえばタンパク質グラフから種類を分類するなど

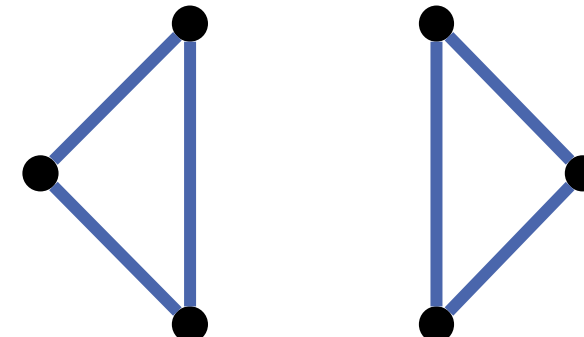
- 各点に何本辺があるかなどの**近傍情報だけ**を使うことが多い

PHを使うとグラフの全体的な構造を分類に使える

すべての点につながっている辺は2本



連結成分は1つ
ループは1つ



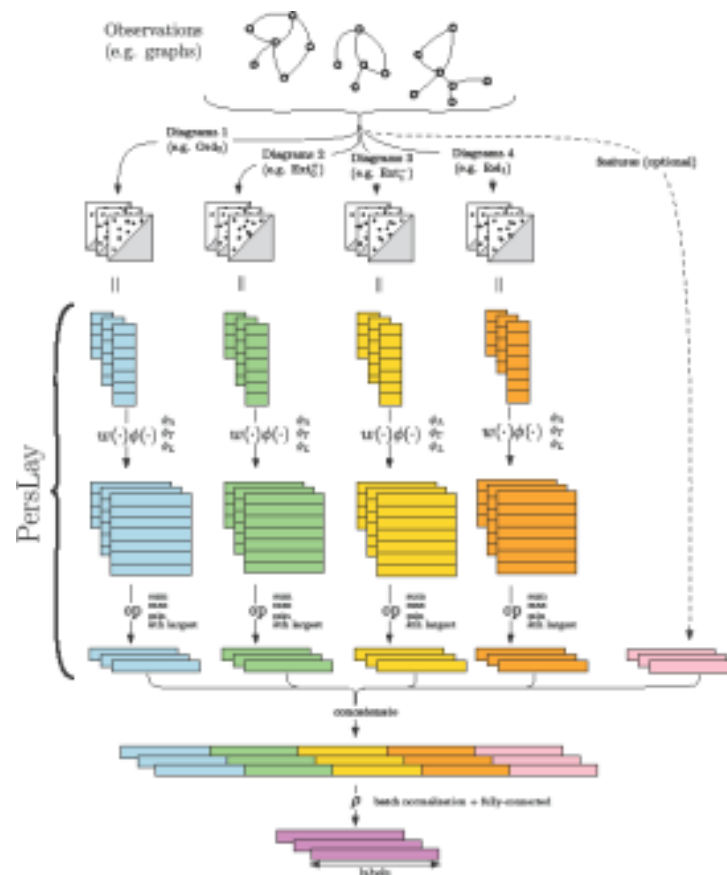
連結成分は2つ
ループは2つ

- たとえば、頂点の**次数関数**や**熱の伝導に関する関数**に対する劣位集合フィルトレーションのパーシステントホモロジーを使う

グラフ分類への応用

PDを使うと分類精度が実際に向上する場合がある

PersLay：単純なネットワークにベクトル化学習したPDを入力
→ PDしか使わずに（当時）最先端の分類器と同等の精度を達成



| Dataset | SV ¹ | RetGK* ² | FGSD ³ | GCNN ⁴ | GIN ⁵ | PERSLAY Mean | PERSLAY Max |
|-----------|-----------------|---------------------|-------------------|-------------------|------------------|-----------------|----------------|
| REDDIT5K | — | 56.1 | 47.8 | 52.9 | 57.0 | 55.6 | 56.5 |
| REDDIT12K | — | 48.7 | — | 46.6 | — | 47.7 | 49.1 |
| COLLAB | — | 81.0 | 80.0 | 79.6 | 80.1 | 76.4 | 78.0 |
| IMDB-B | 72.9 | 71.9 | 73.6 | 73.1 | 74.3 | 71.2 | 72.6 |
| IMDB-M | 50.3 | 47.7 | 52.4 | 50.3 | 52.1 | 48.8 | 52.2 |
| COX2* | 78.4 | 80.1 | — | — | — | 80.9 | 81.6 |
| DHFR* | 78.4 | 81.5 | — | — | — | 80.3 | 80.9 |
| MUTAG* | 88.3 | 90.3 | 92.1 | 86.7 | 89.0 | 89.8 | 91.5 |
| PROTEINS* | 72.6 | 75.8 | 73.4 | 76.3 | 75.9 | 74.8 | 75.9 |
| NCI1* | 71.6 | 84.5 | 79.8 | 78.4 | 82.7 | 73.5 | 74.0 |
| NCI109* | 70.5 | — | 78.8 | — | — | 69.5 | 70.1 |

※10-foldの交差検証

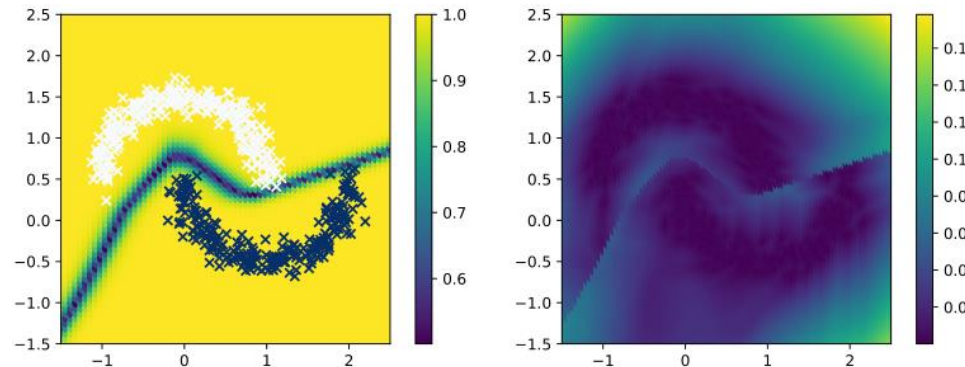
トポロジー情報を上手く使うことは有効

ネットワークのPH的特徴量

ネットワークのPH的特徴量：TU

学習済み分類器 (NN) は最終層が予想確率をあらわす

- 予想確率の最大はどのデータに対しても高く、**全く別のデータが来ても自信をもって間違えてしまう** (左図)



ネットワークの活性度を表す重み付きグラフのPDを使う (右図)

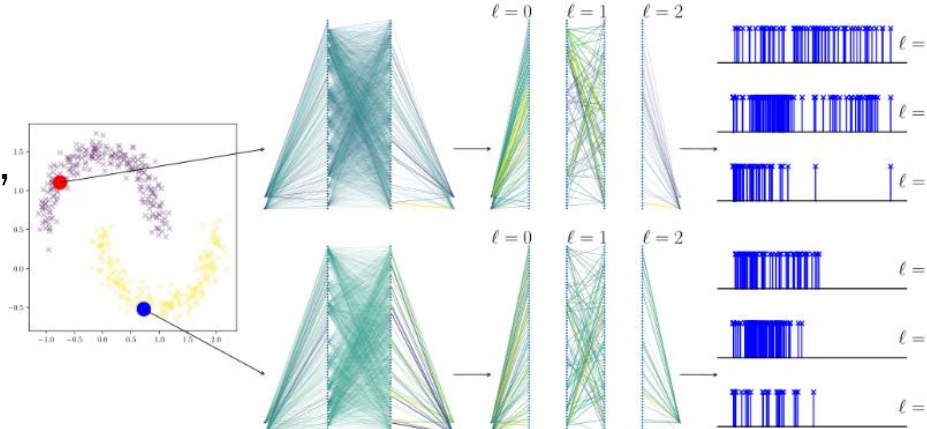
[Gebhart and Schrater, 2017],

[Gebhart et al., 2019],

[Rieck et al., Neural persistence, 2019],

[Lacombe et al.,

Topological Uncertainty, 2021]

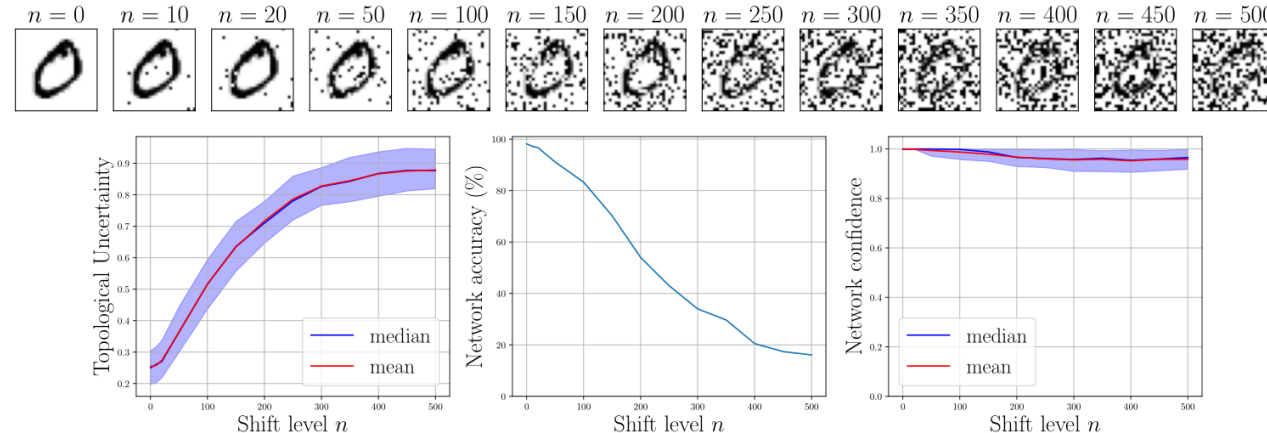


学習データでの活性度と似ているかをPD同士を比較してはかる

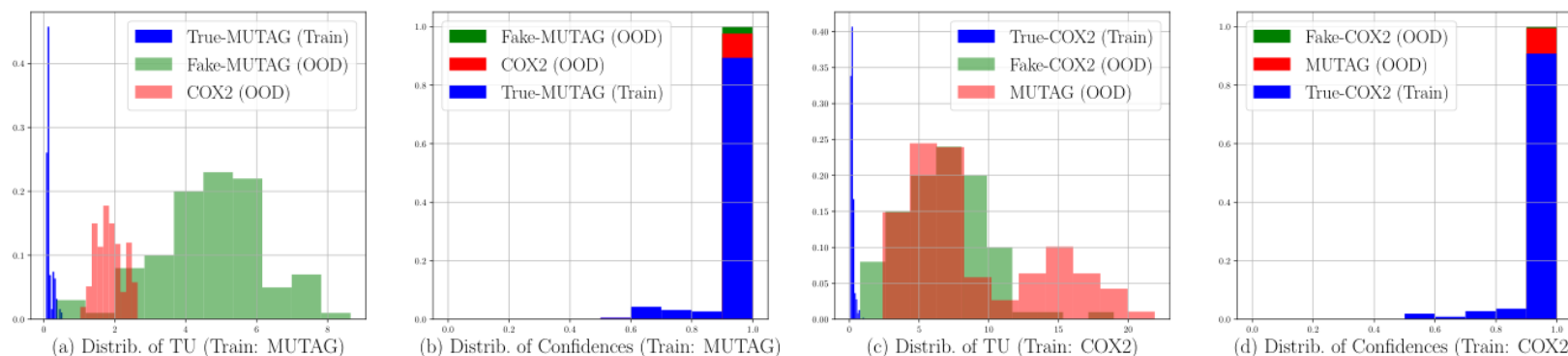
Figures from [Lacombe et al., Topological Uncertainty, 2021]

ネットワークのPH的特徴量：TU

■ 入力の変化に対して敏感：NNの性能保持に役立つと期待



■ 分布外データ検出：全然別のデータが来た時にアラートを出せる



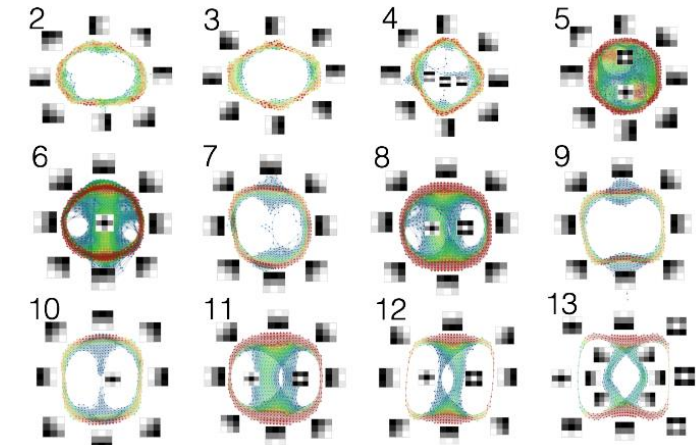
Figures from [Lacombe et al.,
Topological Uncertainty, 2021]

ネットワークのPH的特徴量：他の試み

その他にもNNそのものをPH的な特徴量で調べるアプローチがある

■Carlsson and Bruel-Gabrielsson, Topological approaches to deep learning, 2020

- CNNのフィルターをPHとMapperで調べている
- 浅い層と深い層のフィルターのトポロジー的に比較



■Barannikov et al., Representation topology divergence: A method for comparing neural network representations, 2022

- NNによる潜在表現同士の差をはかる指標RTDをPHで構成
- 右図：90個の単語埋め込み表現の比較。log perplexityと整合。

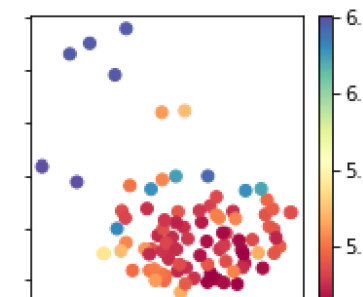


Figure 5: Multi-dimensional scaling of 90 architectures selected randomly from NAS-Bench-NLP. Color depicts log. perplexity.

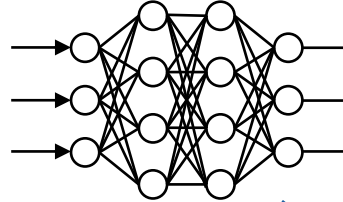
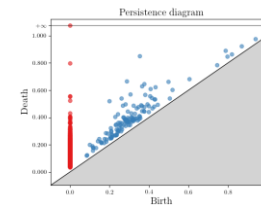
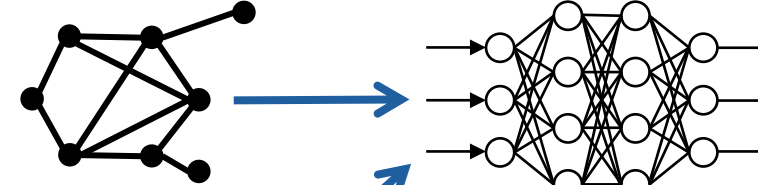
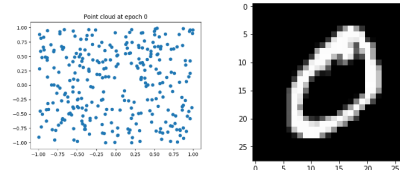
PHを損失関数に組み込む

- トポロジー的損失関数の利用
- 微分可能性と勾配法による最適化

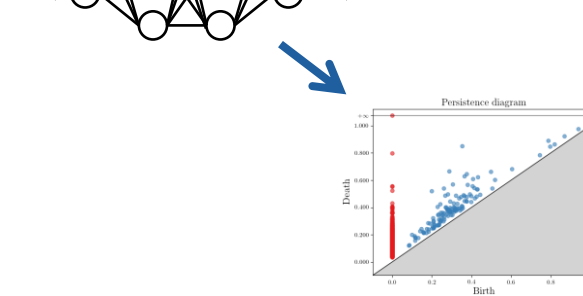
トポロジー的損失関数の利用

PHを損失関数に組み込んで学習器をトポロジー的にコントロール

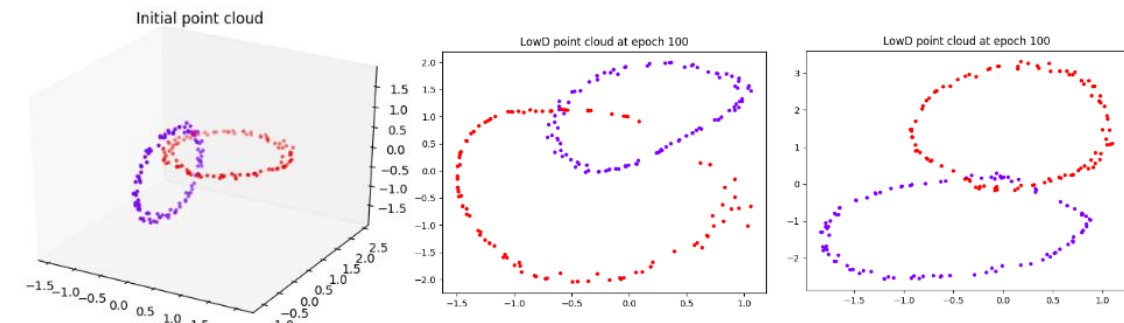
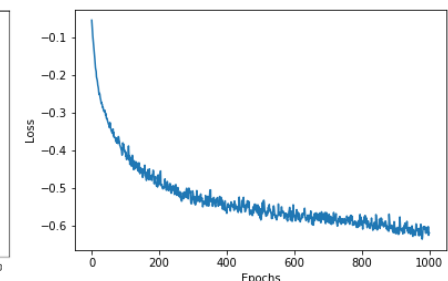
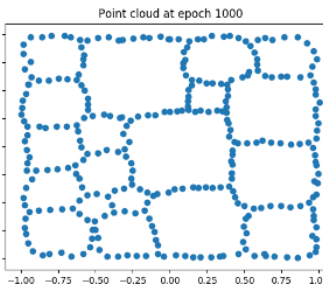
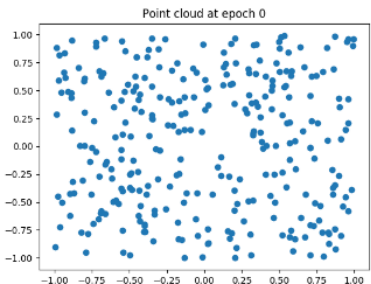
データ



\mathcal{L} : 損失関数



- A Topology Layer for Machine Learning, AISTATS2020: 点群の変形
- Topological Autoencoders, ICML2020: 位相的性質も保つ次元圧縮

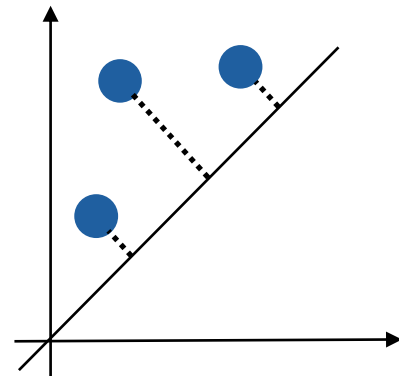


おもちゃの例 (1/2)

点群をループの個数が多くなるように変形する

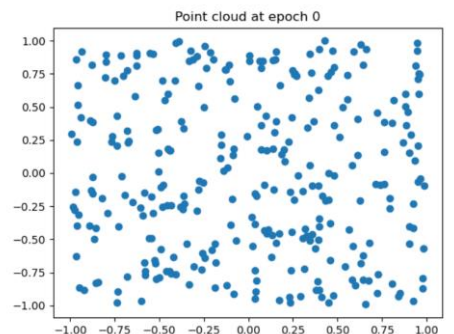
■1次（ループに関する）のPD $D_1(X)$ を考えて、

$$\mathcal{L}(X) = - \sum_{p \in D_1(X)} \|p - \pi_\Delta(p)\|_\infty^2 + d(X, C)$$

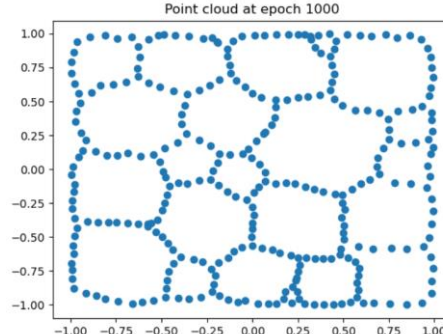


とする。ここで π_Δ は対角線への射影で C は正方形。

■勾配降下法 $x_{k+1} = x_k - \alpha_k \nabla \mathcal{L}(x_k)$ により最適化



\mathcal{L} で最適化
→



実はパーシステンス図を与える写像は、ほとんど至るところで微分可能で、劣微分を使って最適化を行うことができる

パラメータ付けられたフィルトレーション

復習：単体的複体 K のフィルトレーション

\leftrightarrow 関数 $F: K \rightarrow \mathbb{R}$ s.t. $\sigma \subset \tau \Rightarrow F(\sigma) \leq F(\tau)$

K に順序を与えると

\leftrightarrow ベクトル $F \in \mathbb{R}^{|K|}$ s.t. $\sigma \subset \tau \Rightarrow F_\sigma \leq F_\tau$

$$\text{Filt}_K := \{F \in \mathbb{R}^{|K|} \mid \sigma \subset \tau \Rightarrow F_\sigma \leq F_\tau\}$$

定義 $A \subset \mathbb{R}^d$ で **パラメータ付けられたフィルトレーション** とは
関数 $F: A \rightarrow \text{Filt}_K$ のこと

例

■ **劣位集合フィルトレーション** $F: \mathbb{R}^{|V(K)|} \rightarrow \mathbb{R}^{|K|}$, $F_\sigma(f) := \max_{i \in \sigma} f_i$

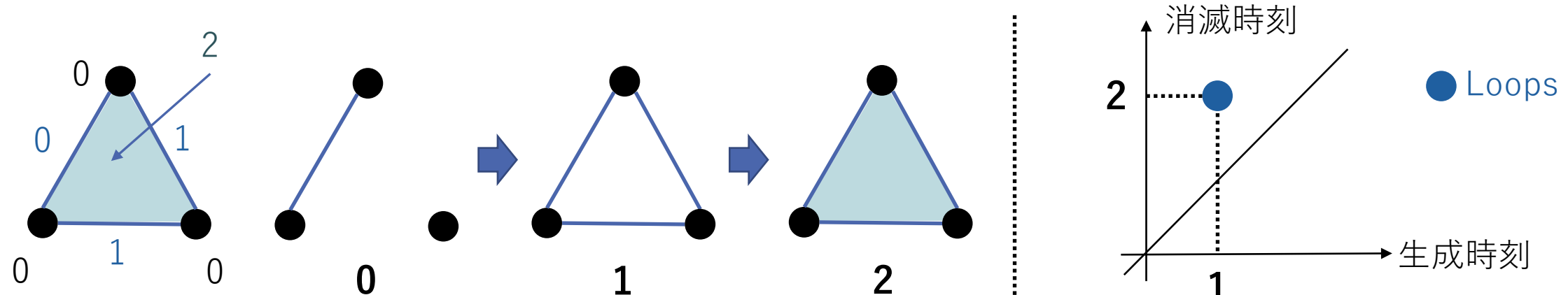
■ **Rips フィルトレーション** $F: (\mathbb{R}^d)^N \rightarrow \mathbb{R}^{|\Delta_N|}$, $F_\sigma(x) := \frac{1}{2} \max_{i,j \in \sigma} \|x_i - x_j\|$

■ **MLのパラメータ** $f_\theta: \mathbb{R}^d \rightarrow \mathbb{R}^D$ ($\theta \in \Theta$), $P \subset \mathbb{R}^d$: 有限集合

$$F: \Theta \rightarrow \mathbb{R}^{|\Delta_N|}, F_\sigma(\theta) := \frac{1}{2} \max_{i,j \in \sigma} \|f_\theta(x_i) - f_\theta(x_j)\|$$

パーシステンス図の対応の微分可能性

Q. パーシステンス図を与える写像を微分することはできるか?
A. 多くの点では（ほとんど至るところで）微分できる



1. 生成・消滅単体の組 $\{(\sigma_{b_i}, \sigma_{d_i})\}_i$ を見つける (組合せ的)

e.g.

: 生成単体



: 消滅単体

2. 各組にフィルトレーションの値を対応させる $\{(F(\sigma_{b_i}), F(\sigma_{d_i}))\}_i$ e.g. (1,2)

■ F が滑らかにパラメータ付けられている \Rightarrow 微分 $x \mapsto \{(\nabla_x F(\sigma_{b_i}), \nabla_x F(\sigma_{d_i}))\}_i$
を単体の順序が変わらない範囲で考えることが可能

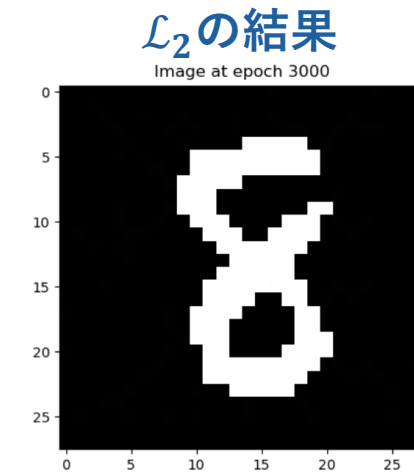
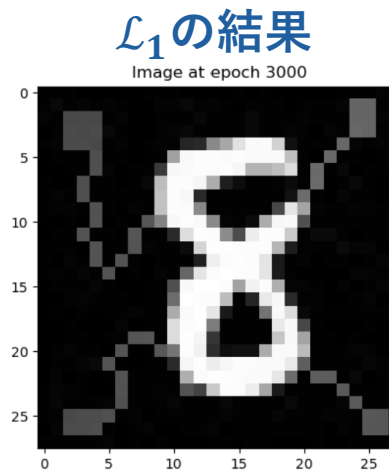
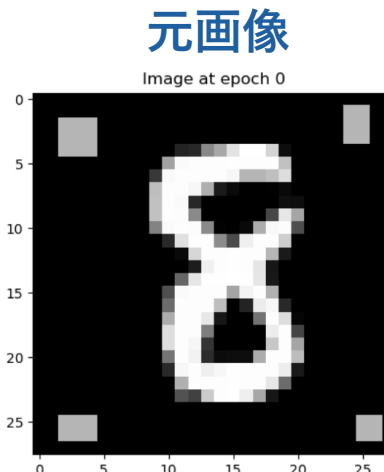
応用例 (1/2)：画像の劣位集合

画像を変形して染みをのせたMNIST画像から染みを削除したい

- 損失関数として $\mathcal{L}_1(I) = \sum_{p \in D_0(I)} \|p\|_2^2$ を用いて勾配法を適用すると、連結成分を減らすように働き中央の画像のようになる
- ピクセル値が0か1になるように

$$\mathcal{L}_2(I) = \sum_{p \in D_0(I)} \|p\|_2^2 + \sum_i \max \{|x_i|, |1 - x_i|\}$$

を用いると結果は右の画像のようになる



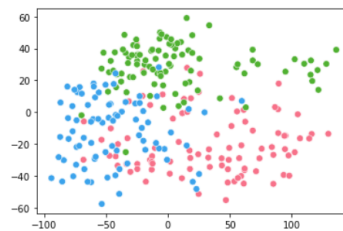
応用例 (2/2)：埋め込みのTDA的統制

Vandaele et al., Topologically Regularized Data Embeddings, 2022: データ埋め込み $E: \mathbb{X} \rightarrow \mathbb{R}^d$ に応用

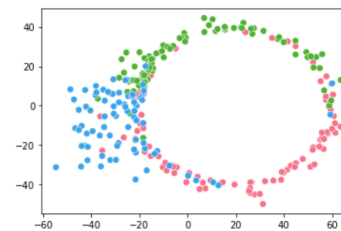
■ E の PD の点を $d_k - b_k$ が降順になるように並べて

$$\mathcal{L}_{\text{top}}(E) := \mu \sum_{k=i, d_k < \infty}^{k=j} (d_k - b_k), \quad \mu \in \{\pm 1\}$$
 を考える

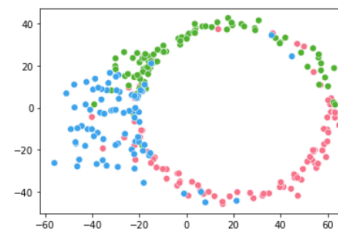
■ $\mathcal{L}_{\text{emb}}(E, \mathbb{X}) + \lambda_{\text{top}} \mathcal{L}_{\text{top}}(E)$ を最適化することで E のトポロジーを統制



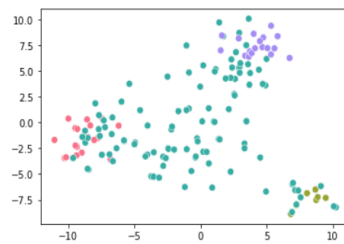
(a) Ordinary PCA embedding.



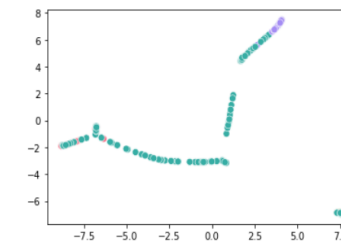
(b) Top. optimized embedding.



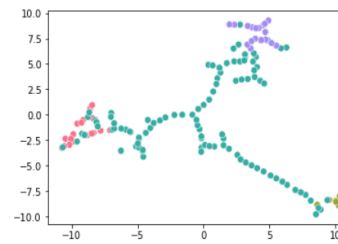
(c) Top. regularized embedding.



(a) Ordinary UMAP embedding.



(b) Top. optimized embedding.



(c) Top. regularized embedding.

$$\left\| x - \frac{1}{|E|} \sum_{y \in E} y \right\| \geq \tau$$

を満たす点のPDを用いる

トポロジー情報の機械学習

- フィルトレーションを学習する
- PDを計算する関数を機械学習で近似する

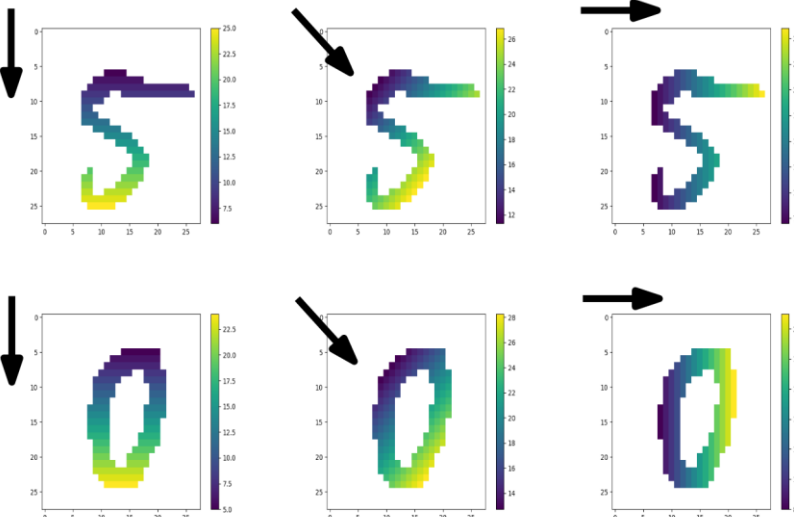
PH損失関数の別の応用：フィルター学習

分類に用いるTDAのフィルターで最適なものを学習する

- MNIST画像を劣位フィルトレーションに関する0次PDで分類する問題
- ある方向への1次関数の族をとり

$$\mathcal{L}(f) = \sum_l \frac{\sum_{y_i=y_j=l} d(D_0(I_i, f), D_0(I_j, f))}{\sum_{y_i=l} d(D_0(I_i; f), D_0(I_j; f))}$$

を最適化する。最適化前と後でのランダムフォレストでの分類精度は下の表

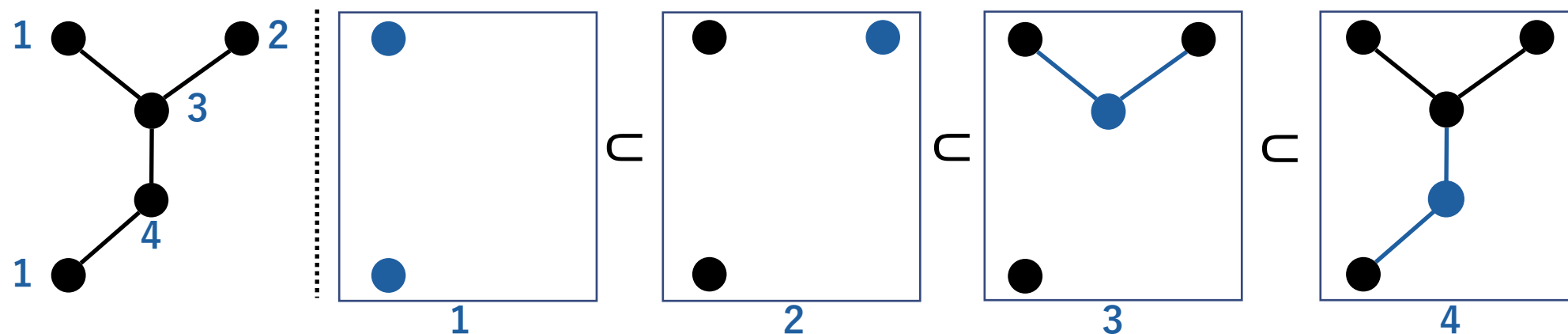


| Dataset | Baseline | Before | After | Difference | Dataset | Baseline | Before | After | Difference |
|---------|----------|--------|-------|------------|---------|----------|--------|-------|------------|
| vs01 | 100.0 | 61.3 | 99.0 | +37.6 | vs26 | 99.7 | 98.8 | 98.2 | -0.6 |
| vs02 | 99.4 | 98.8 | 97.2 | -1.6 | vs28 | 99.1 | 96.8 | 96.8 | 0.0 |
| vs06 | 99.4 | 87.3 | 98.2 | +10.9 | vs29 | 99.1 | 91.6 | 98.6 | +7.0 |
| vs09 | 99.4 | 86.8 | 98.3 | +11.5 | vs34 | 99.8 | 99.4 | 99.1 | -0.3 |
| vs16 | 99.7 | 89.0 | 97.3 | +8.3 | vs36 | 99.7 | 99.3 | 99.3 | -0.1 |
| vs19 | 99.6 | 84.8 | 98.0 | +13.2 | vs37 | 98.9 | 94.9 | 97.5 | +2.6 |
| vs24 | 99.4 | 98.7 | 98.7 | 0.0 | vs57 | 99.7 | 90.5 | 97.2 | +6.7 |
| vs25 | 99.4 | 80.6 | 97.2 | +16.6 | vs79 | 99.1 | 85.3 | 96.9 | +11.5 |

グラフのフィルトレーション学習 (1/2)

Hofer et al., Graph Filtration Learning, 2020

- フィルター関数をエンドツーエンドに学習
- 頂点上の関数はグラフの劣位集合フィルトレーションを与える



- 頂点上の関数をグラフニューラルネットワーク (GNN) として実現してそれをタスクに応じて学習させる
 - $V \ni v \mapsto \text{GNN}(G, l(v))$, $l: V \rightarrow \mathbb{R}^n$ はノードの表現
 - 実験では隠れ層64次元の1-GINを用いて、後ろに2層のMLPを使っている

グラフのフィルトレーション学習 (2/2)

Hofer et al., Graph Filtration Learning, 2020

■ フィルター関数をエンドツーエンドに学習

■ 出来上がったPDのベクトル化は分類に用いられる

■ 微分可能性により、 PDの情報を含んだ損失関数を勾配法で最適化できる

| Method | REDDIT-BINARY | REDDIT-MULTI-5K | IMDB-BINARY | IMDB-MULTI |
|----------------------------------|---|-----------------|---|----------------|
| | <i>Initial node features: uninformative</i> | | <i>Initial node features: $l(v) = \deg(v)$</i> | |
| PH-only | 90.3 ± 2.6 | 55.7 ± 2.1 | 68.9 ± 3.5 | 46.1 ± 4.2 |
| 1-GIN (GFL) | 90.2 ± 2.8 | 55.7 ± 2.9 | 74.5 ± 4.6 | 49.7 ± 2.9 |
| 1-GIN (SUM) (Xu et al., 2019) | 81.2 ± 5.4 | 51.0 ± 2.2 | 73.5 ± 3.8 | 50.3 ± 2.6 |
| 1-GIN (SP) (Zhang et al., 2018a) | 76.8 ± 3.6 | 48.5 ± 1.8 | 73.0 ± 4.0 | 50.5 ± 2.1 |
| Baseline (Zaheer et al., 2017) | 77.5 ± 4.2 | 45.7 ± 1.4 | 72.7 ± 4.6 | 49.9 ± 4.0 |
| <i>State-of-the-Art (NN)</i> | | | | |
| DCNN (Wang et al., 2018) | n/a | n/a | 49.1 | 33.5 |
| PatchySAN (Niepert et al., 2016) | 86.3 | 49.1 | 71.0 | 45.2 |
| DGCNN (Zhang et al., 2018a) | n/a | n/a | 70.0 | 47.8 |
| 1-2-3-GNN (Morris et al., 2019) | n/a | n/a | 74.2 | 49.5 |
| 5-GIN (SUM) (Xu et al., 2019) | 88.9 | 54.0 | 74.0 | 48.8 |

Sparse

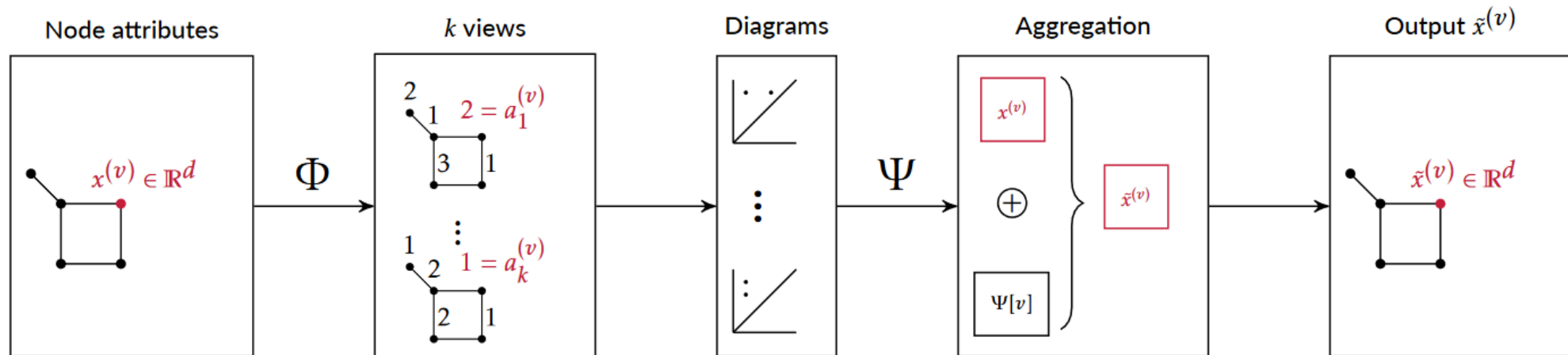
Dense

フィルトレーションを学習した方が精度が高まる場合がある

Topological Graph Layer

Horn et al., Topological Graph Neural Networks, 2022

- トポロジー的情報を含めて頂点上のベクトルを変換する層を提案
- フィルトレーション学習とベクトル化学習を両方行うパイプライン



- $\Phi: \mathbb{R}^d \rightarrow \mathbb{R}^k$ フィルトレーション学習を行う（たとえば2層のNN）
- Ψ : PDのベクトル化（たとえばDeepSets, rational hat function, PersLayなど）
- GNNに簡単に組み込むことが可能
- 単純なGNNでは区別できないグラフを区別可能にできる

Figures from B. Rieck, Topology-Based Graph Representation Learning

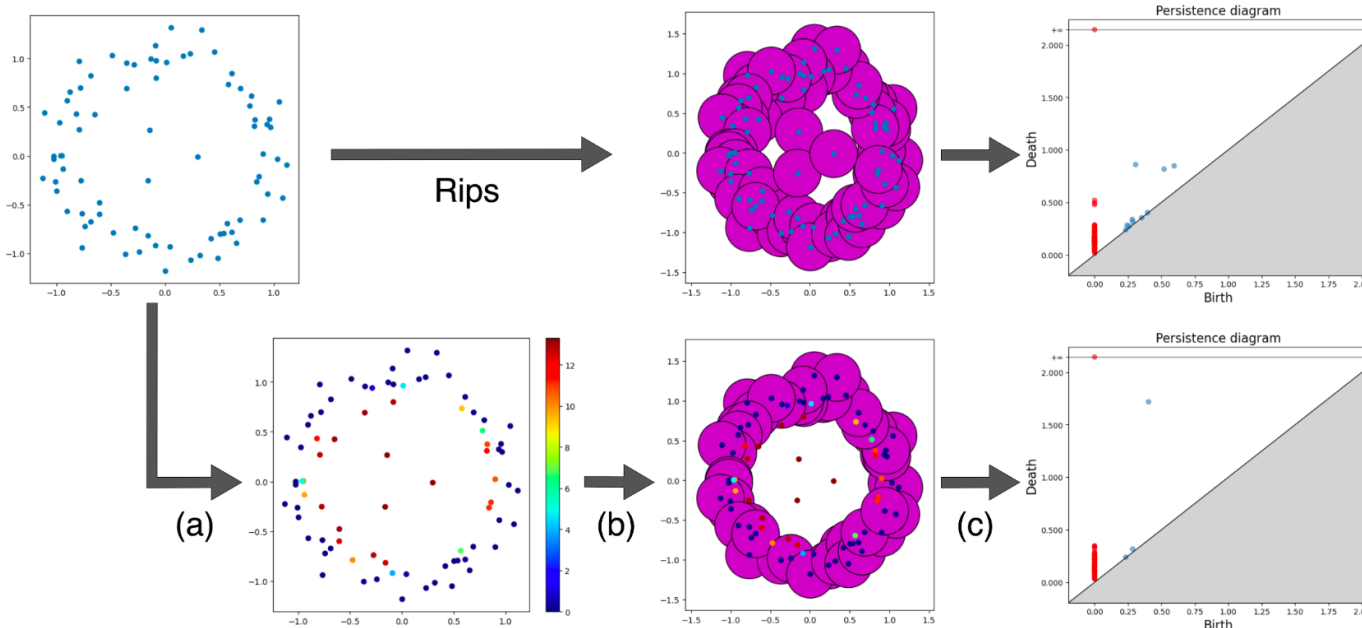
点群のフィルトレーション学習 (1/2)

Nishikawa et al., Adaptive Topological Feature via Persistent Homology: Filtration Learning for Point Clouds, 2023

■分類タスクに応じて点群のフィルトレーション学習

■球の膨張の開始時刻を点ごとに学習

■等長変換不变な構造を提案



ユーザがフィルトレーションを
指定しなくても、データから
自動的に学習

タンパク質分類の精度

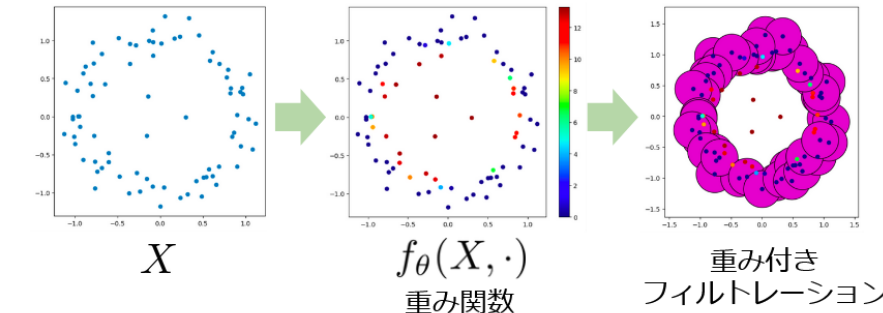
| DistMatrixNet | Rips | DTM | Ours |
|-----------------|----------------|----------------|----------------|
| 65.0 ± 12.0 | 79.9 ± 3.0 | 78.0 ± 1.6 | 81.9 ± 2.1 |

点群のフィルトレーション学習 (2/2)

- 各点 x の球の膨張の開始時刻を点群 X と点 x を入力とするニューラルネットワーク $f_\theta(X, x)$ で定める

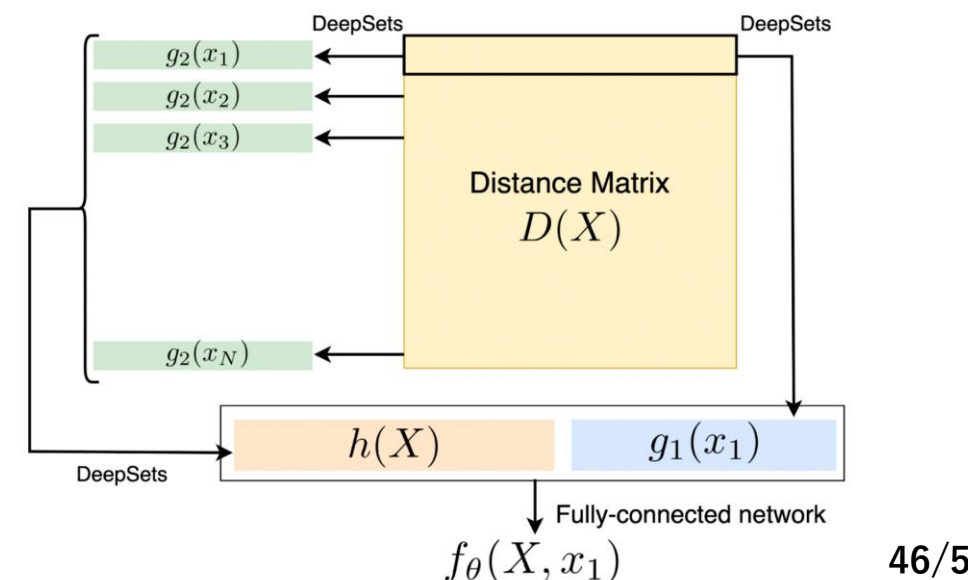
- $f_\theta(X, x)$ が満たす条件

- 点の順序について不变
- 点群全体 X の性質と各点 x の性質の両方を反映
- 等長不变変換： $f_\theta(TX, Tx) = f_\theta(X, x)$ (T : 等長変換)



- 距離行列とDeepSetsを用いてこれらの条件を満たすように構成

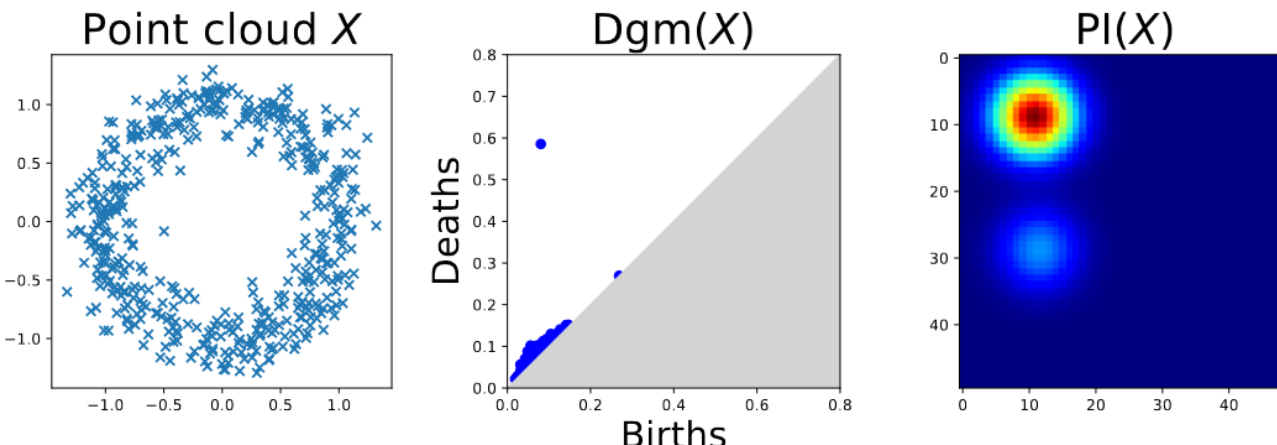
- PersLayでベクトル化して分類に使用全体をタスクに合わせて学習



PDの厳密計算の問題点

TDAの実応用においては以下のパイプラインを使うことが多い：

点群 \mapsto PD \mapsto ベクトル化



このパイプラインにおいては **2つの問題点** がある

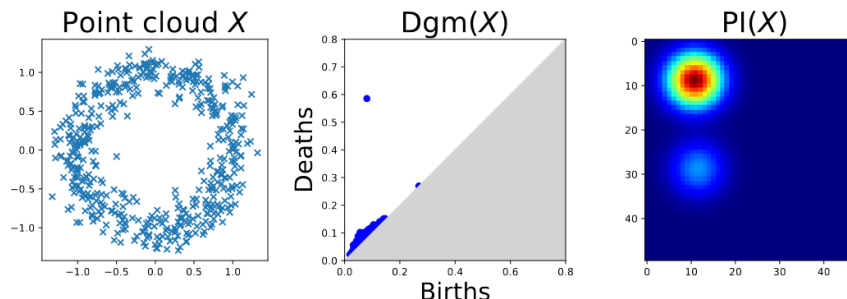
1. 点群に対するPDを計算するための**計算量**
 - (ナイーブな) アルゴリズムの計算量は $\mathcal{O}(n^3)$, $n = \#$ 単体
 - Čech・Ripsフィルトレーションの場合: $n = 2^{\#P} - 1!$
2. 低レベルの**外れ値**に対しても**敏感** (1点の変更で大きく変化)

RipsNet: NNによるPDの推定

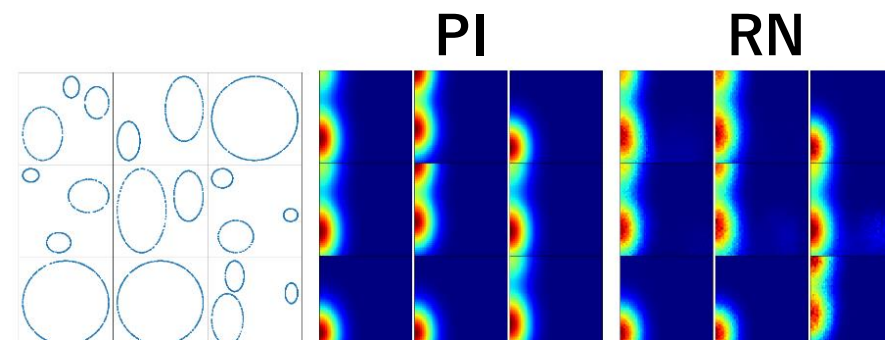
de Surrel et al., RipsNet, ICLR Workshop on Geometrical and Topological Representation Learning 2022

(cf. Zhou et al., 2022; 3次元点群データ, Kaji, 2019; Som et al., 2020; 画像データ, Yan et al., 2022; グラフデータ)

■点群 \mapsto PD \mapsto ベクトル化のパイプラインを学習する **データドリブンな手法**



■ニューラルネットワークで**PDを推定する**



RipsNet: 構造と学習

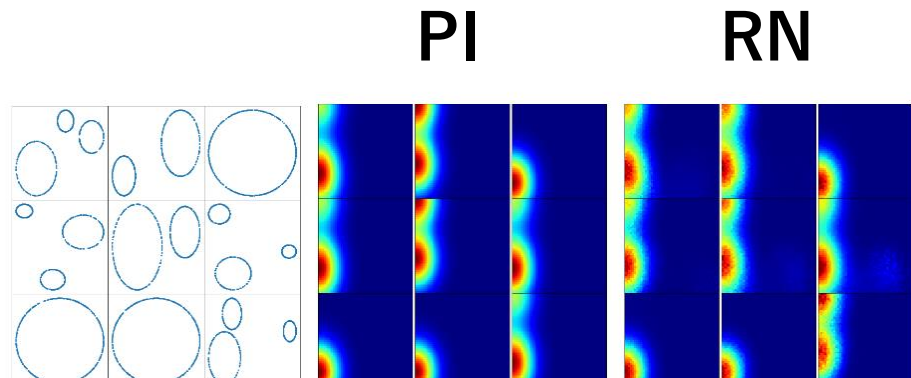
- PDベクトル化手法 $\text{PV}: X \mapsto D(X) \mapsto \text{PV}(X)$ を固定 (主にPIとPL)
 - 点群 $X = \{x_1, \dots, x_N\} \subset \mathbb{R}^d$ から PV を学習する RN :

$$\text{RN}: X \mapsto \phi_2(\text{op}(\{\phi_1(x)\}_{x \in X}))$$

$\phi_1: \mathbb{R}^d \rightarrow \mathbb{R}^{d_1}, \phi_2: \mathbb{R}^{d_1} \rightarrow \mathbb{R}^{d_2}$ MLP, opは置換不变な作用素

- PDのベクトル化と L2損失で学習 : minimize $\sum_i \|\text{RN}(X_i) - \text{PV}(X_i)\|^2$
(PHは学習データ生成のみに使用)

- 学習後のRNは効率的にPVを推定



計算時間の比較

| Data | Gudhi (s) | Gudhi ^{DTM} (s) | RN (s) |
|-----------------|-----------------|--------------------------|---------------|
| LS | 56.3 ± 1.5 | 155.9 ± 8.1 | 0.3 ± 0.0 |
| PI | 69.5 ± 3.1 | 173.7 ± 13.3 | 0.4 ± 0.0 |
| P | 5.3 ± 1.4 | 44.7 ± 6.6 | 0.2 ± 0.0 |
| UMD | 8.0 ± 1.4 | 55.7 ± 3.6 | 0.2 ± 0.0 |
| $\lambda = 2\%$ | 118.4 ± 4.7 | 178.5 ± 8.1 | 0.2 ± 0.0 |
| $\lambda = 5\%$ | 117.8 ± 4.5 | 180.0 ± 9.2 | 0.2 ± 0.0 |

実際のPD計算

実験：分類タスク

■ 分類タスクにおいて比較

- $\widetilde{\text{PI}}$, $\widetilde{\text{PL}}$: ノイズありの結果

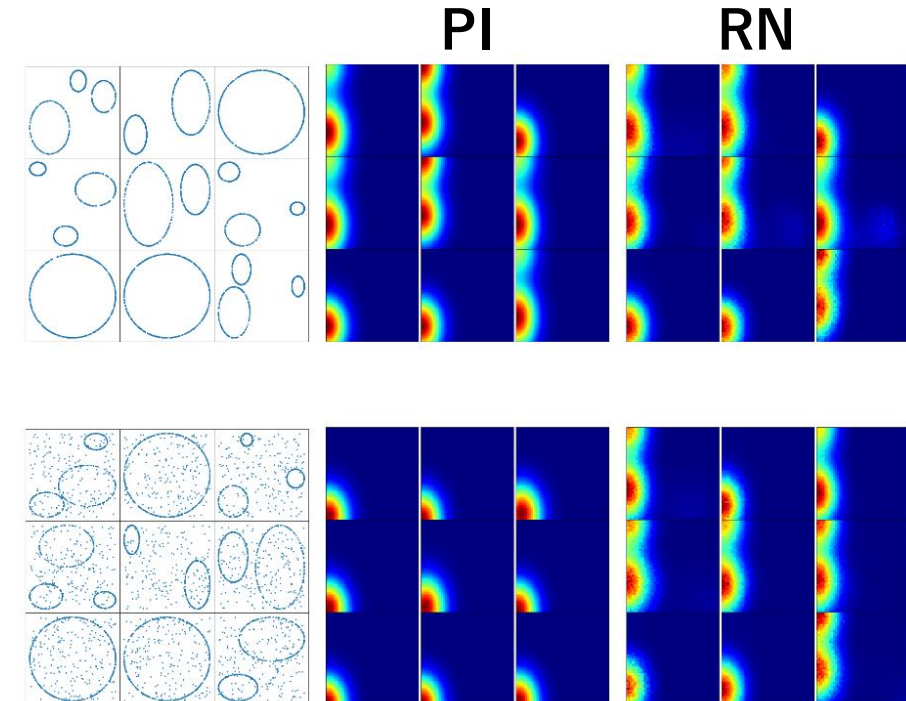
■ 人工データ

- \mathbb{R}^2 内の円状データ（ノイズなし・あり）

- $N = 600, \lambda = 1/3$

- PIまたはRipsNet + XGBoost

- 直接DeepSetsを使う手法とも比較



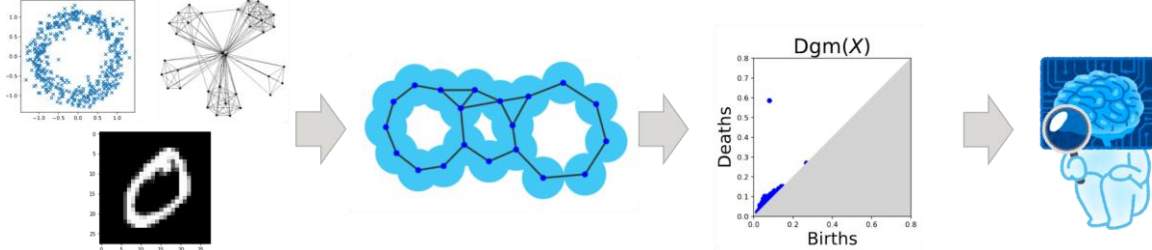
- RipsNetがノイズありの状況では他手法に勝った

| Synth. Data | $\text{Cl}_{\text{Gudhi}}^{\text{XGB}}$ | $\text{Cl}_{\text{Gudhi}^{\text{DTM}}}^{\text{XGB}}$ | $\text{Cl}_{\text{RN}}^{\text{XGB}}$ | DS_1 | DS_2 |
|-------------------------|---|--|--------------------------------------|----------------|----------------|
| PL | 99.9 ± 0.1 | 99.9 ± 0.1 | 80.7 ± 3.0 | 66.4 ± 2.3 | 66.0 ± 2.4 |
| PI | 100.0 ± 0.0 | 100.0 ± 0.1 | 81.6 ± 5.3 | - | - |
| $\widetilde{\text{PL}}$ | 66.7 ± 0.0 | 66.7 ± 0.0 | 76.3 ± 2.3 | 66.8 ± 1.0 | 66.6 ± 2.3 |
| $\widetilde{\text{PI}}$ | 33.3 ± 0.0 | 65.0 ± 1.3 | 77.4 ± 4.4 | - | - |

まとめ

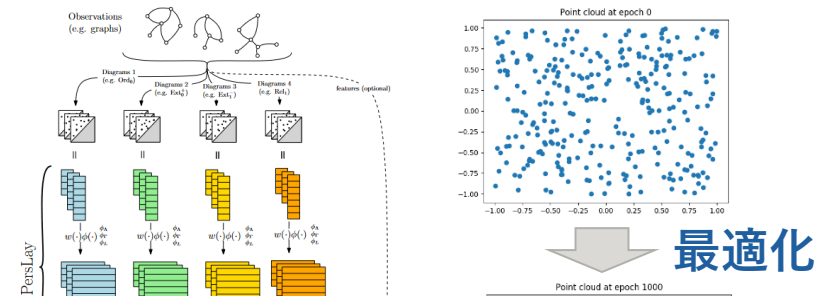
1. PHを機械学習の入力に使う

- PDをベクトル化して機械学習に入力することでトポロジー情報を使える
- ベクトル化を学習する手法もある



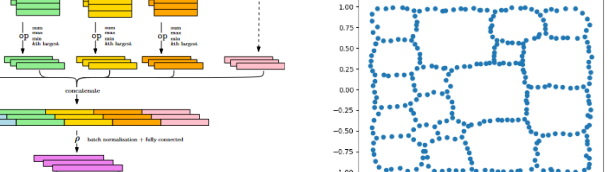
2. NNからPH的特徴量を取り出す

- NNの状況を調べたり監視したりできる



3. PHを損失関数に組み込む

- PDの関数を損失関数に組み込むことによって学習機をトポロジー的にコントロールできる
- TDA損失関数の設計が今後の課題



4. トポロジー的情報の機械学習

- フィルトレーションをデータから学習
- データをPDに変換する関数をNNで学習する試み

